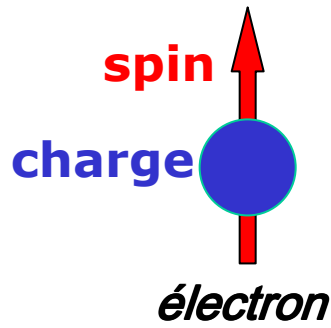
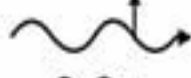


# Présent et Futur de la Spintronique



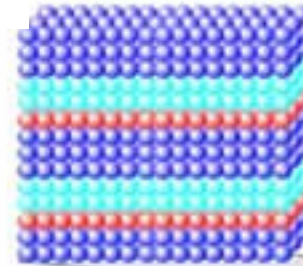
Influence du spin  
sur mobilité des  
électrons

Électron spin up



Électron spin down

Nanostructures  
magnétiques

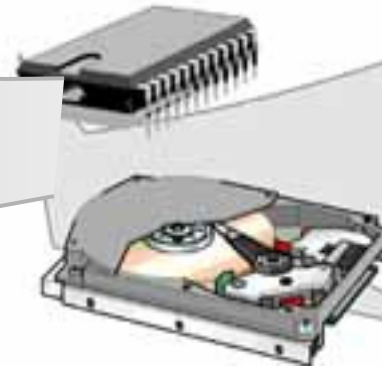


Spintronique

GMR, TMR, etc...

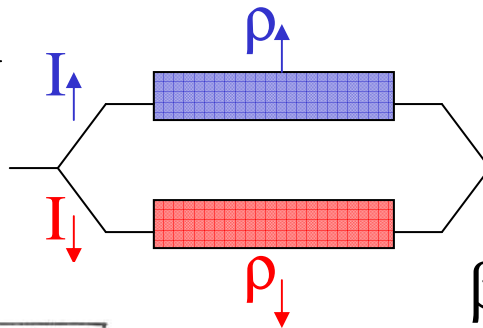
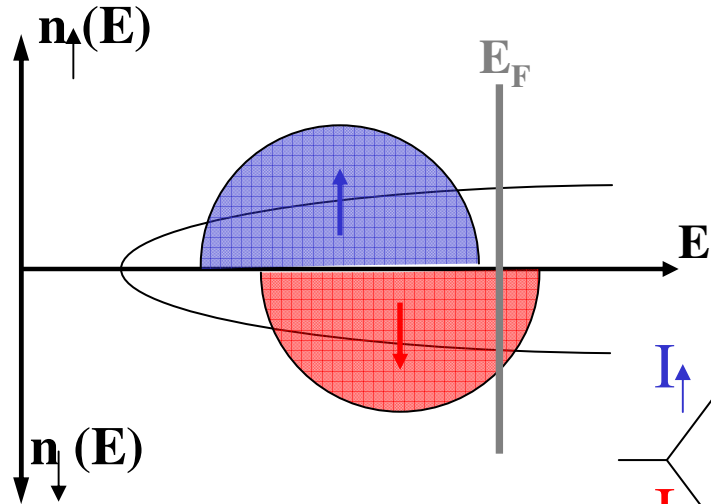
Memoire (M-RAM)

commutation magnétique  
et oscillations  
hyperfréquence par  
transfert de spin,  
spintronique avec  
semiconducteurs,  
spintronique moléculaire,  
etc



Têtes de lecture pour  
disque dur, capteurs, etc

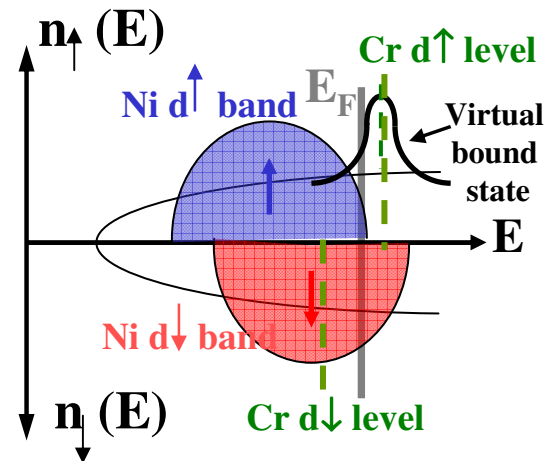
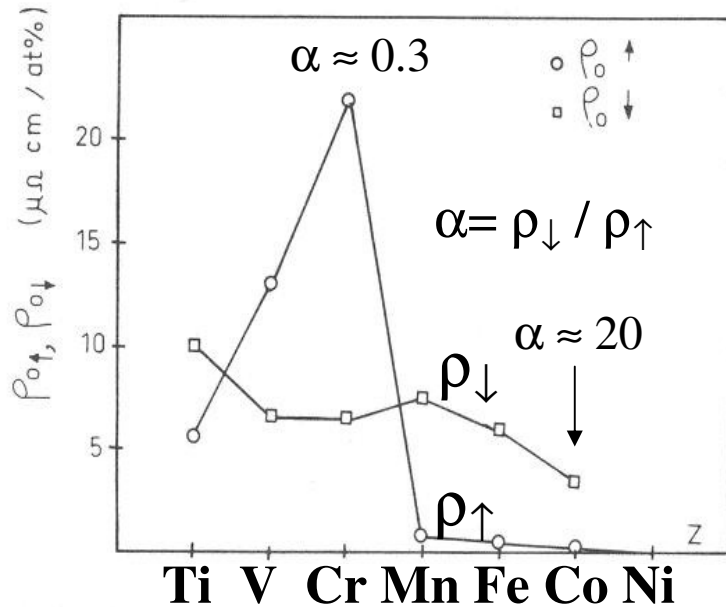
# Influence du spin sur la mobilité des électrons dans un métal ferromagnétique



Mott, Proc.Roy.Soc A153, 1936  
 Fert et al, PRL 21, 1190, 1968  
 Loegel-Gautier, JPCS 32, 1971  
 Fert et al, J.Phys.F6, 849, 1976  
 Dorlejin et al, ibid F7, 23, 1977

$$\alpha = \rho_{\downarrow} / \rho_{\uparrow} \text{ or}$$

$$\beta = (\rho_{\downarrow} - \rho_{\uparrow}) / (\rho_{\downarrow} + \rho_{\uparrow}) = (\alpha - 1) / (\alpha + 1)$$

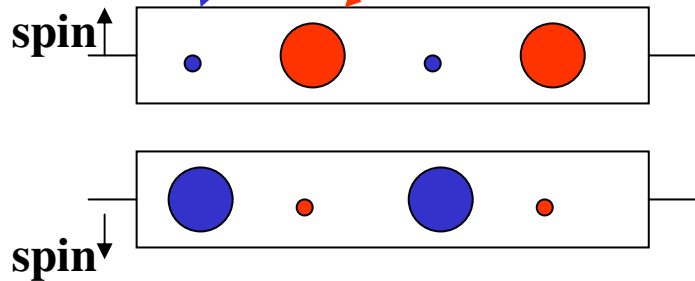


Mixing impurities A and B with opposite or similar spin asymmetries:  
*the pre-concept of GMR*

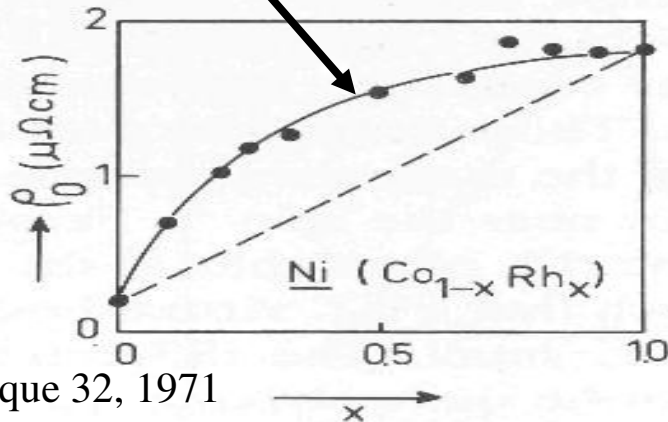
**Example: Ni + impurities A and B** (Fert-Campbell, 1968, 1971)

**1st case**

$\alpha_A > 1, \alpha_B < 1$



$\rho_{AB} \gg \rho_A + \rho_B$

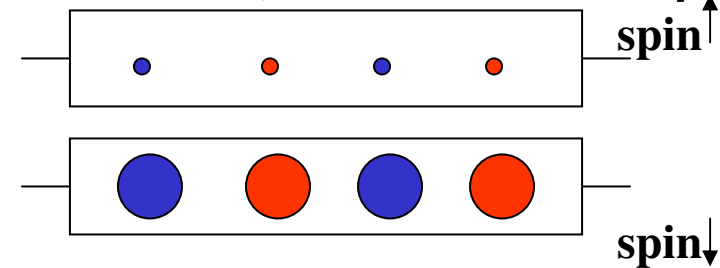


J. de Physique 32, 1971

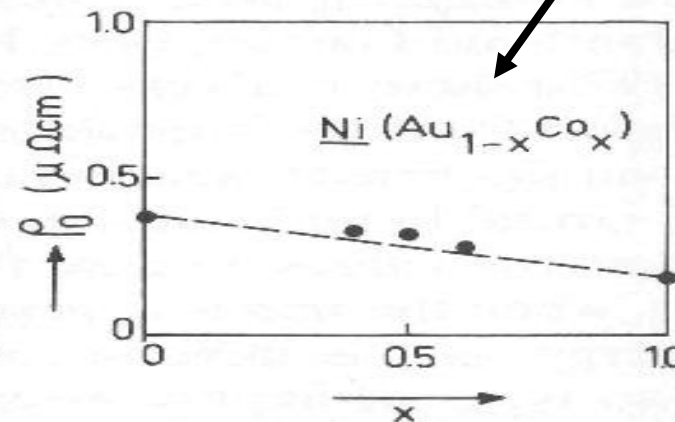
**2d case**

$\alpha_A$  and  $\alpha_B > 1$

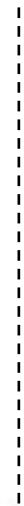
*High mobility channel* → *low  $\rho$*

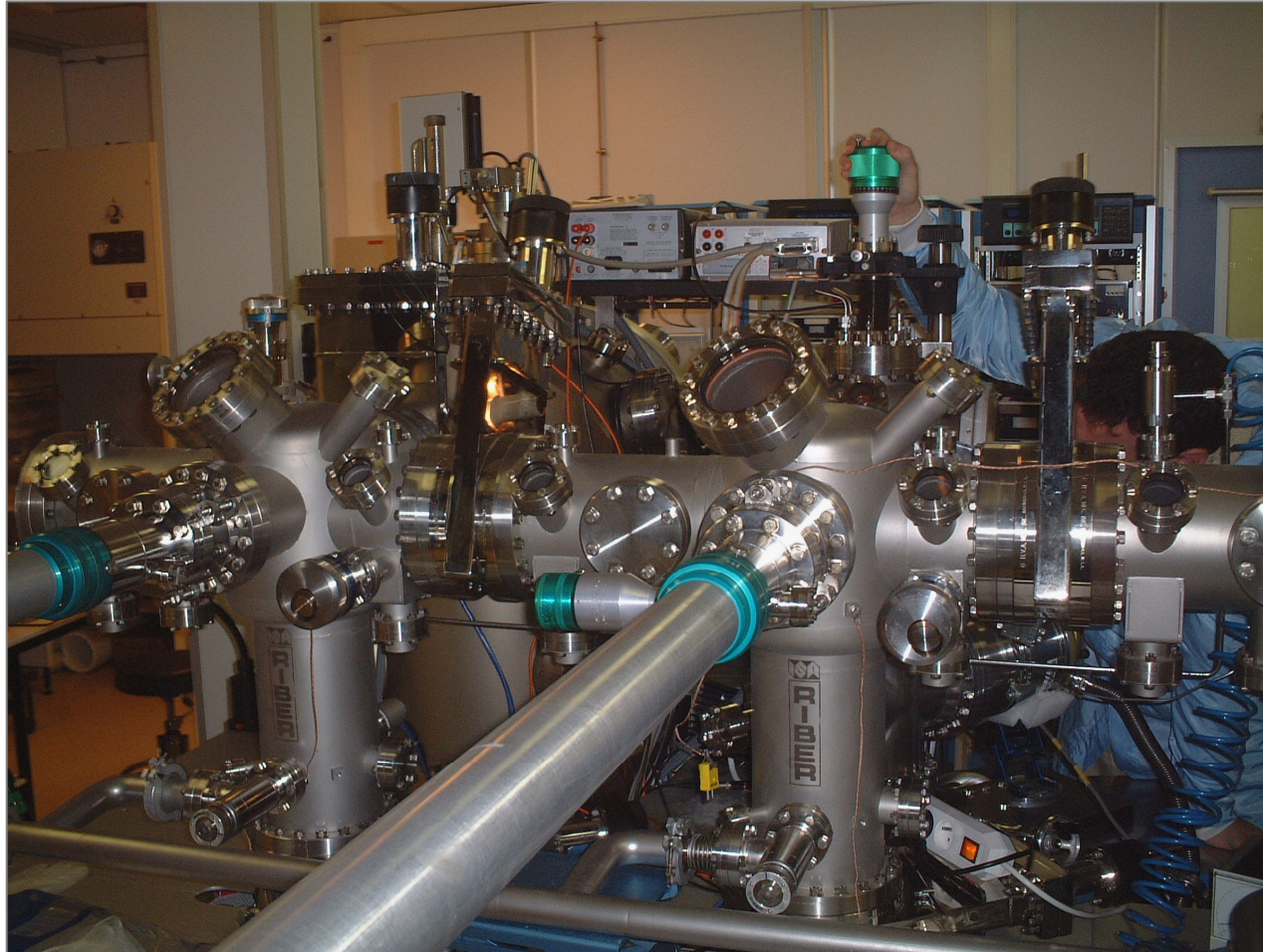


$\rho_{AB} \approx \rho_A + \rho_B$



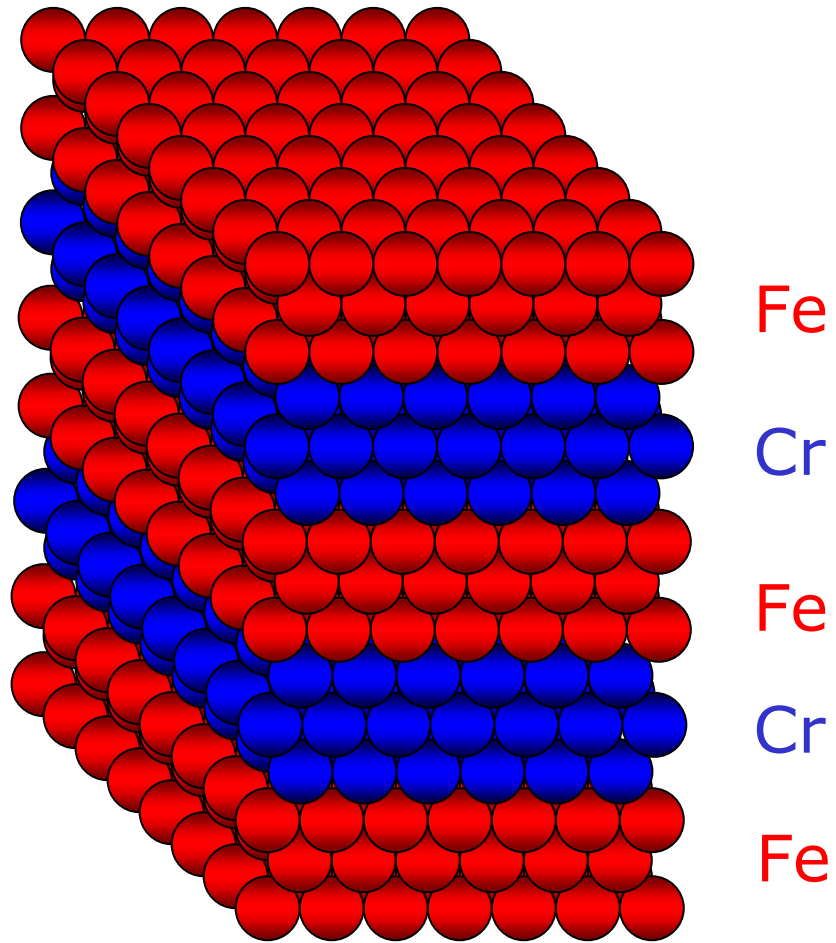
$\alpha = \rho_{\downarrow} / \rho_{\uparrow}$



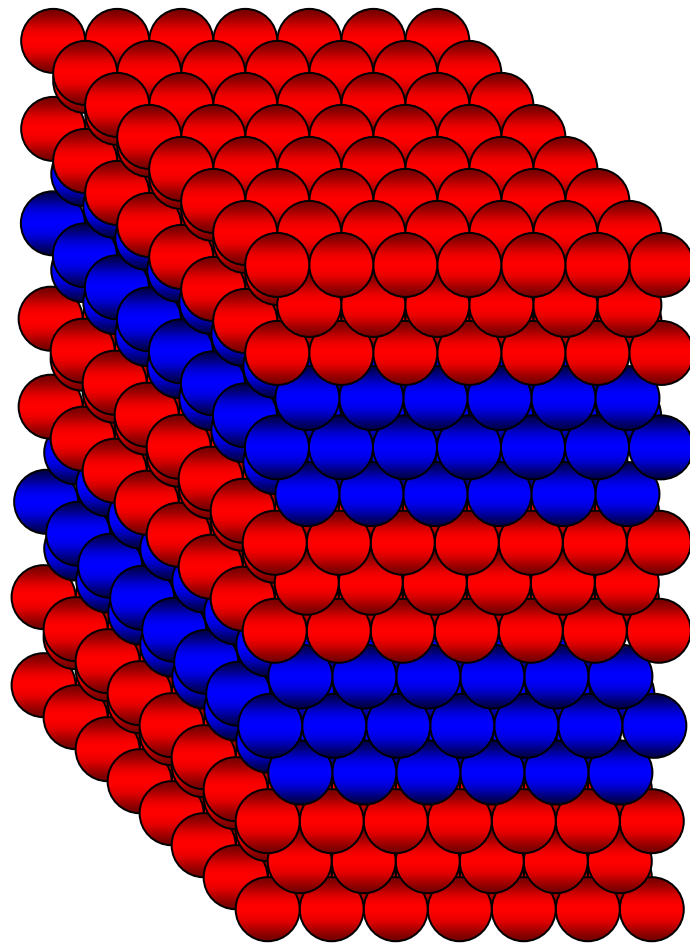


Epitaxie par jet moléculaire  
(croissance de multicouches métalliques)

- **Multicouches magnétiques**



## • Multicouches magnétiques



Aimantations des  
couches de Fe à champ nul  
dans des multicouches Fe/Cr

Fe



Cr

Fe



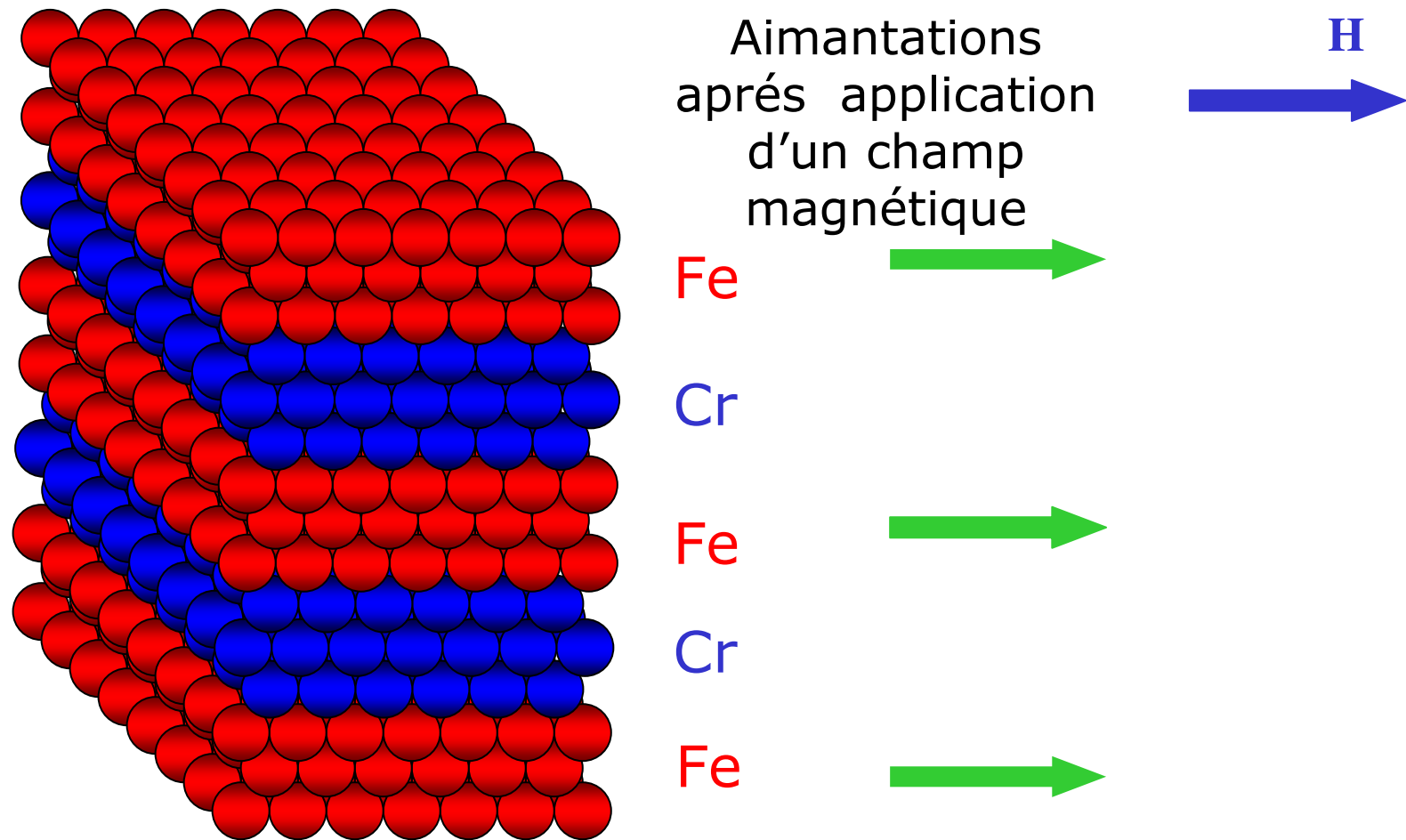
Cr

Fe



P. Grünberg, 1986 → couplage antiferromagnétique entre couches

## • Multicouches magnétiques

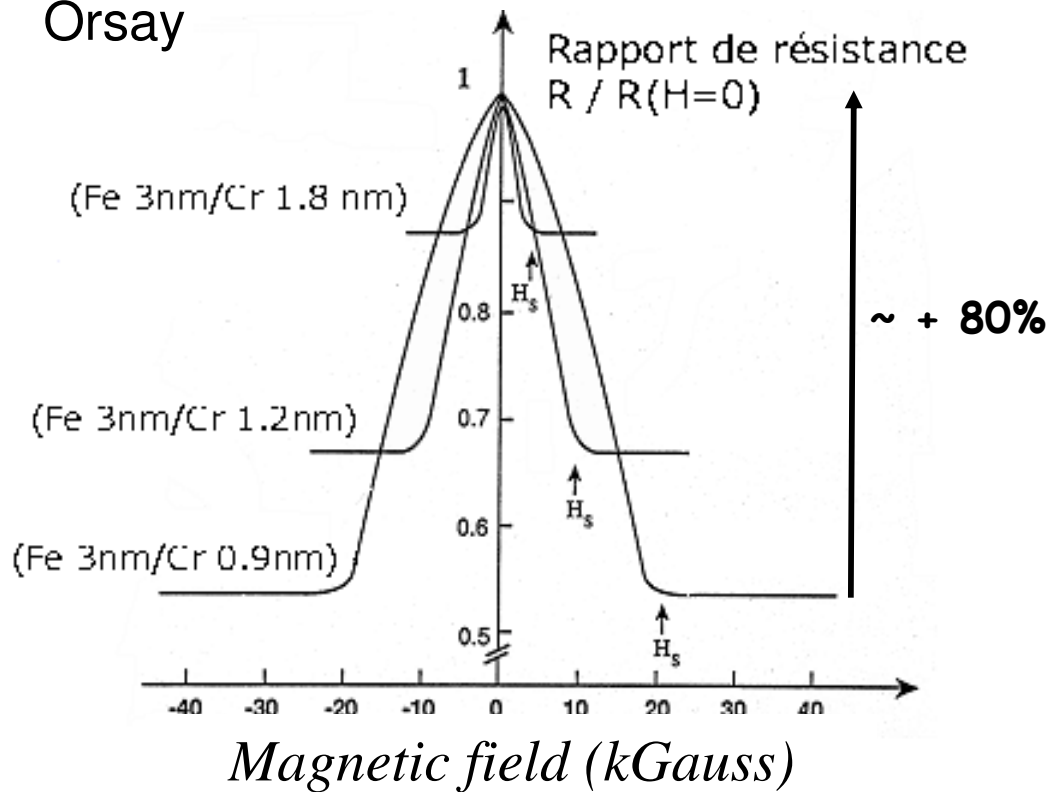


P. Grünberg, 1986 → couplage antiferromagnétique entre couches

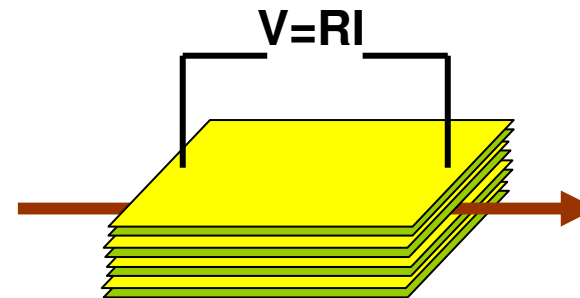
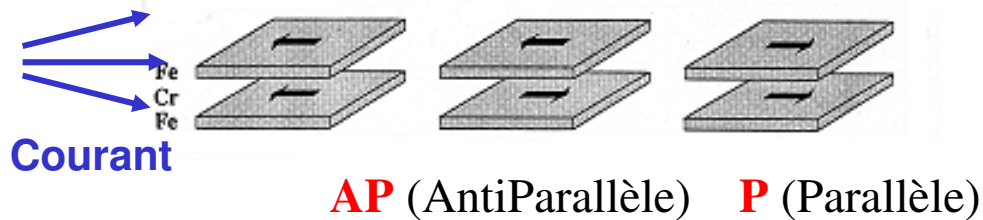
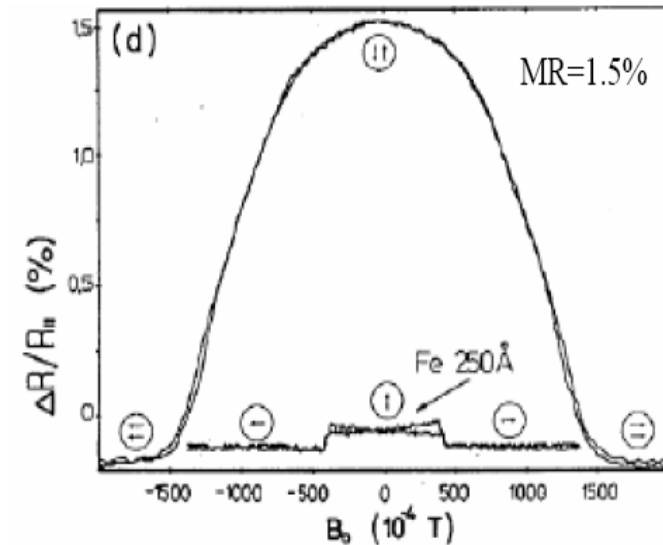
# • Magneto-resistance Géante (GMR)

(Orsay, 1988, multicouches Fe/Cr, Jülich, 1989, tricouches Fe/Cr/Fe)

Orsay



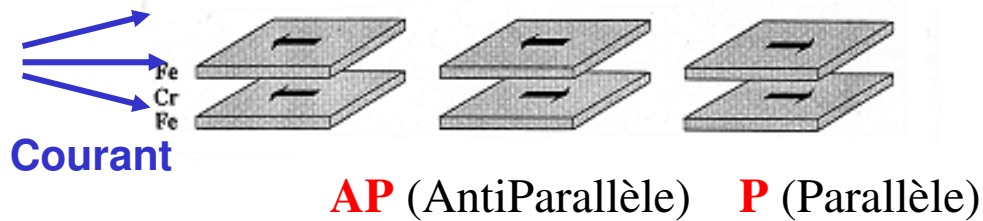
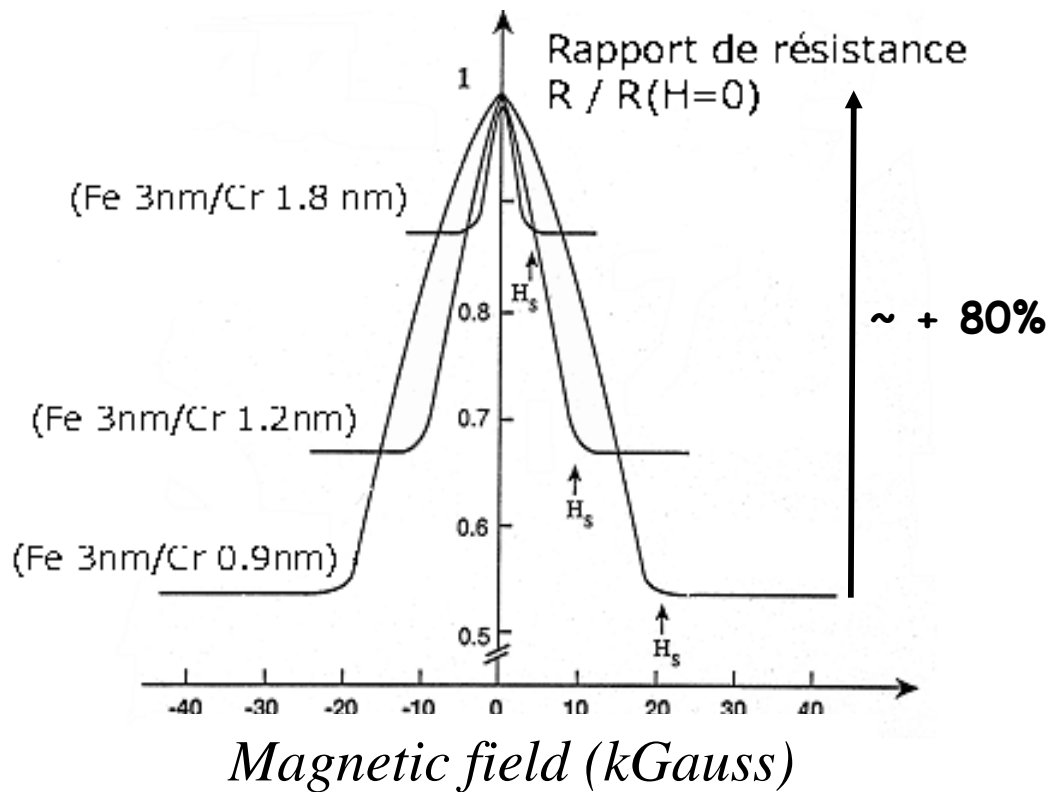
Jülich



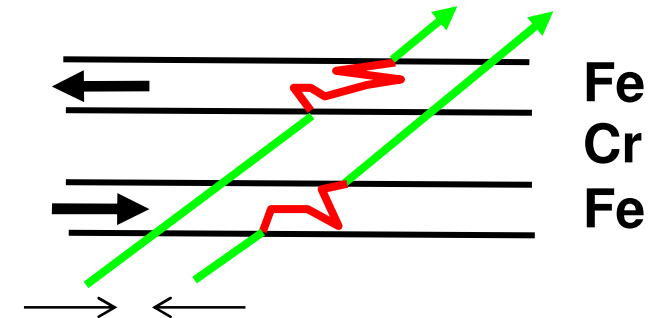


# • Magnéto-résistance Géante (GMR)

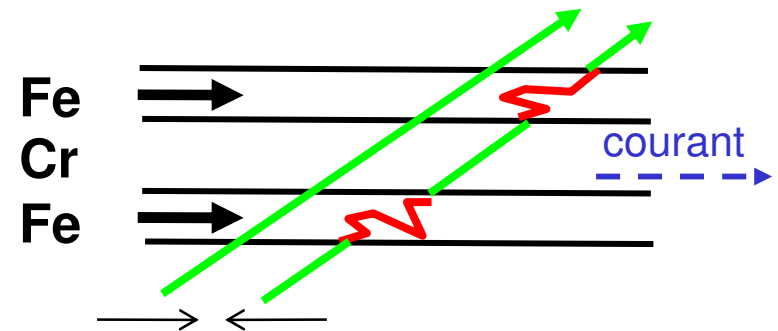
(Orsay, 1988, multicouches Fe/Cr, Jülich, 1989, tricouches Fe/Cr/Fe)



Aimantations **anti-parallèles**  
(champ nul, **forte** résistance)

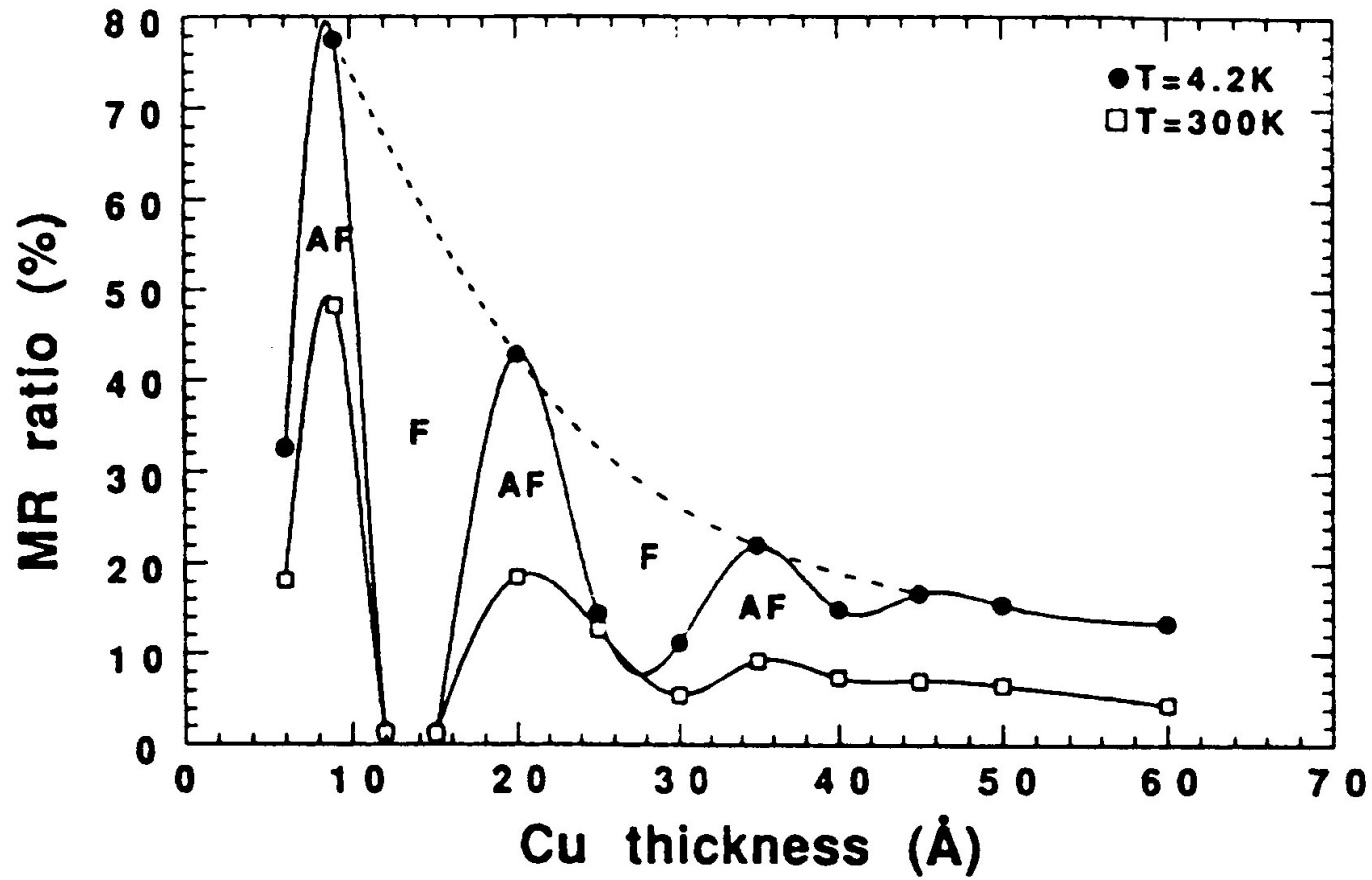


Aimantations **parallèles**  
(champ appl., **petite** resist.)



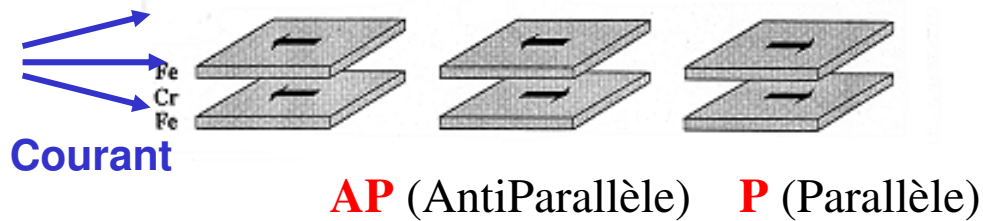
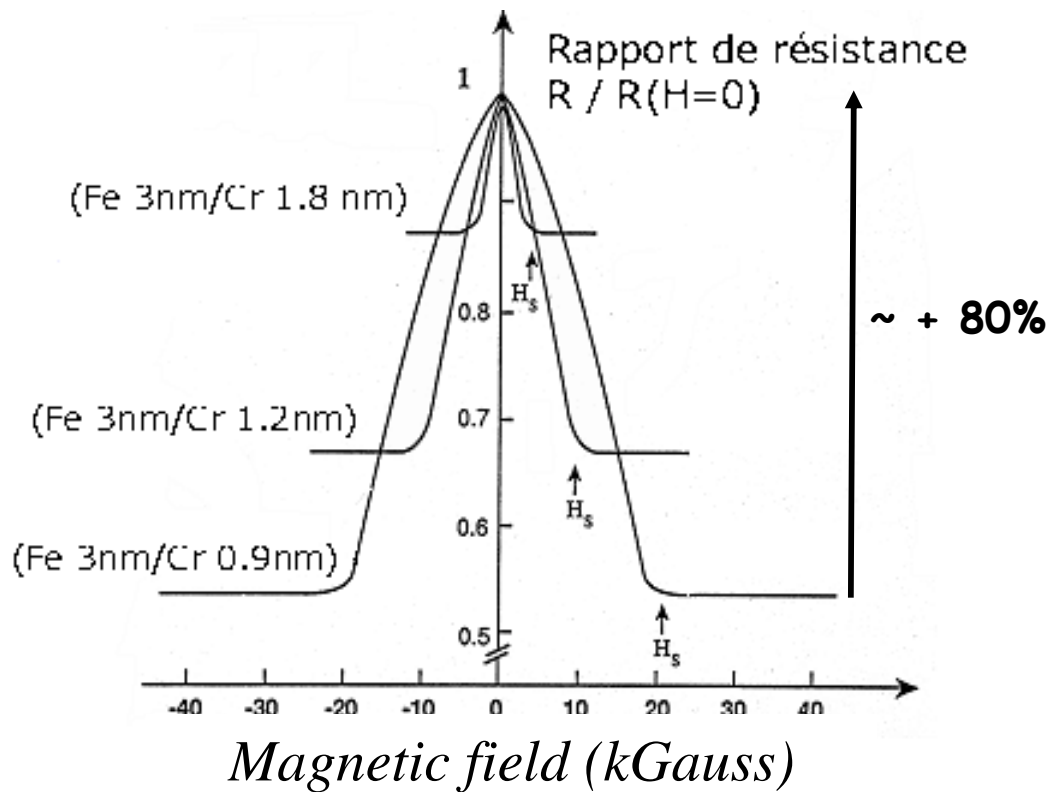
Condition pour GMR:  
épaisseurs  $\approx$  nm

*GMR oscillations in Co/Cu (Orsay 1991, Mosca, AF et al)*

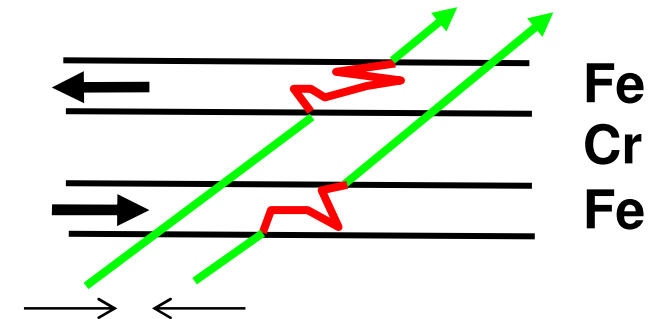


# • Magnéto-résistance Géante (GMR)

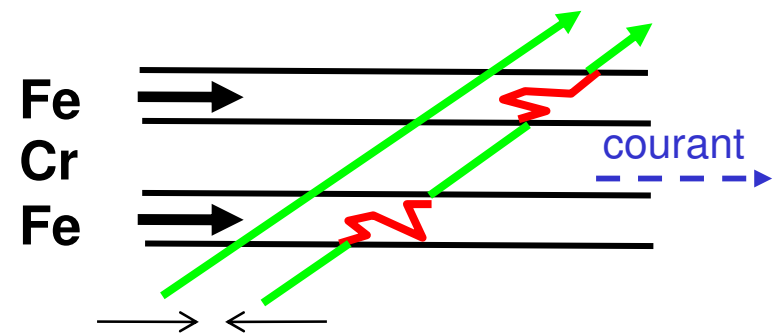
(Orsay, 1988, multicouches Fe/Cr, Jülich, 1989, tricouches Fe/Cr/Fe)



Aimantations **anti-parallèles**  
(champ nul, **forte** résistance)



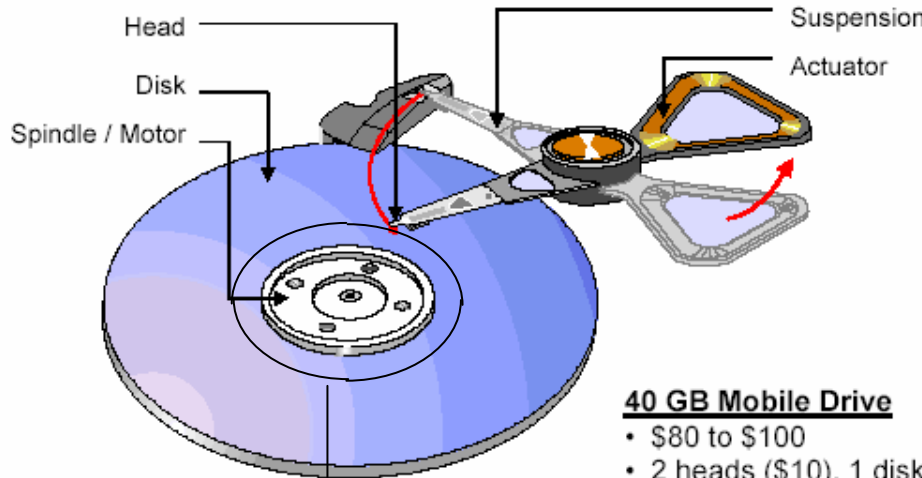
Aimantations **parallèles**  
(champ appl., **petite** resist.)



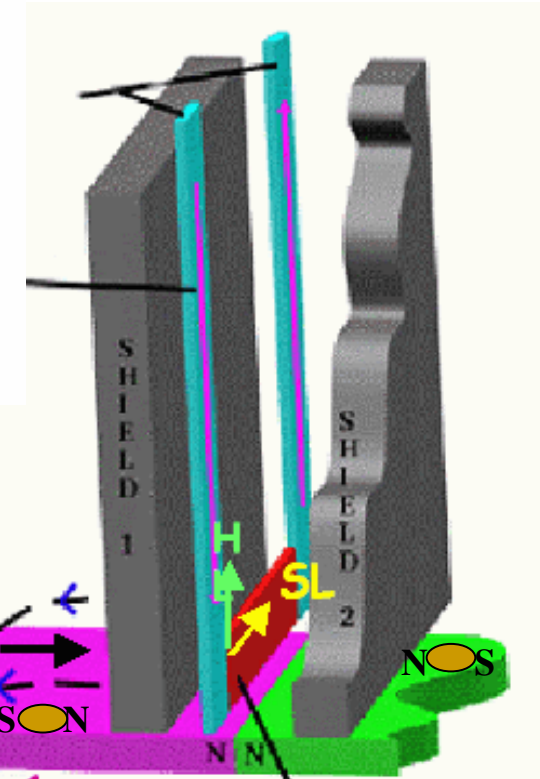
Condition pour GMR:  
épaisseurs  $\approx$  nm

The Magnetic Recording System

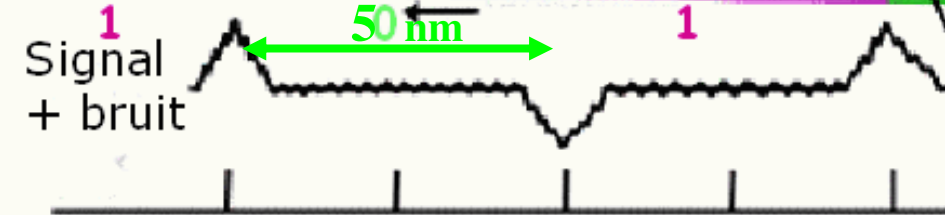
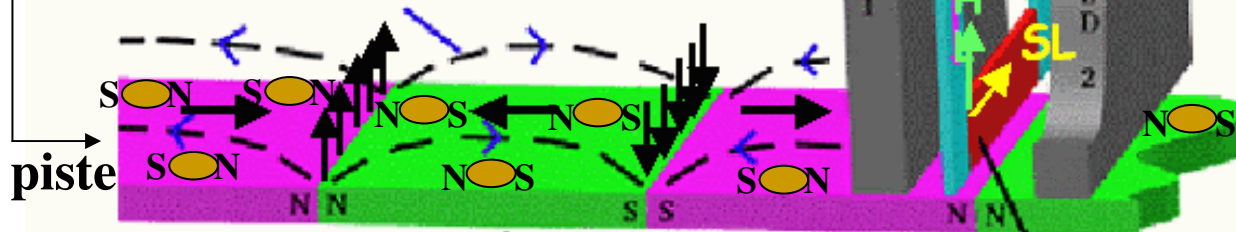
**Tête de lecture de disque dur**



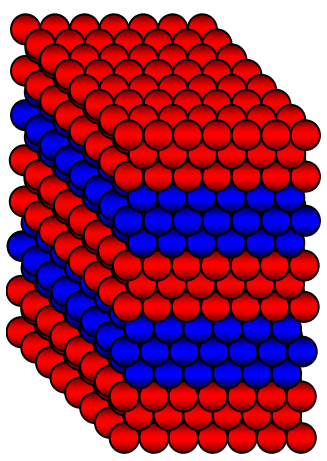
- 40 GB Mobile Drive**
- \$80 to \$100
  - 2 heads (\$10), 1 disk (\$5)
  - 40 Gbit/in<sup>2</sup> to 80 Gbit/in<sup>2</sup>



Champ magnétique crée par le média

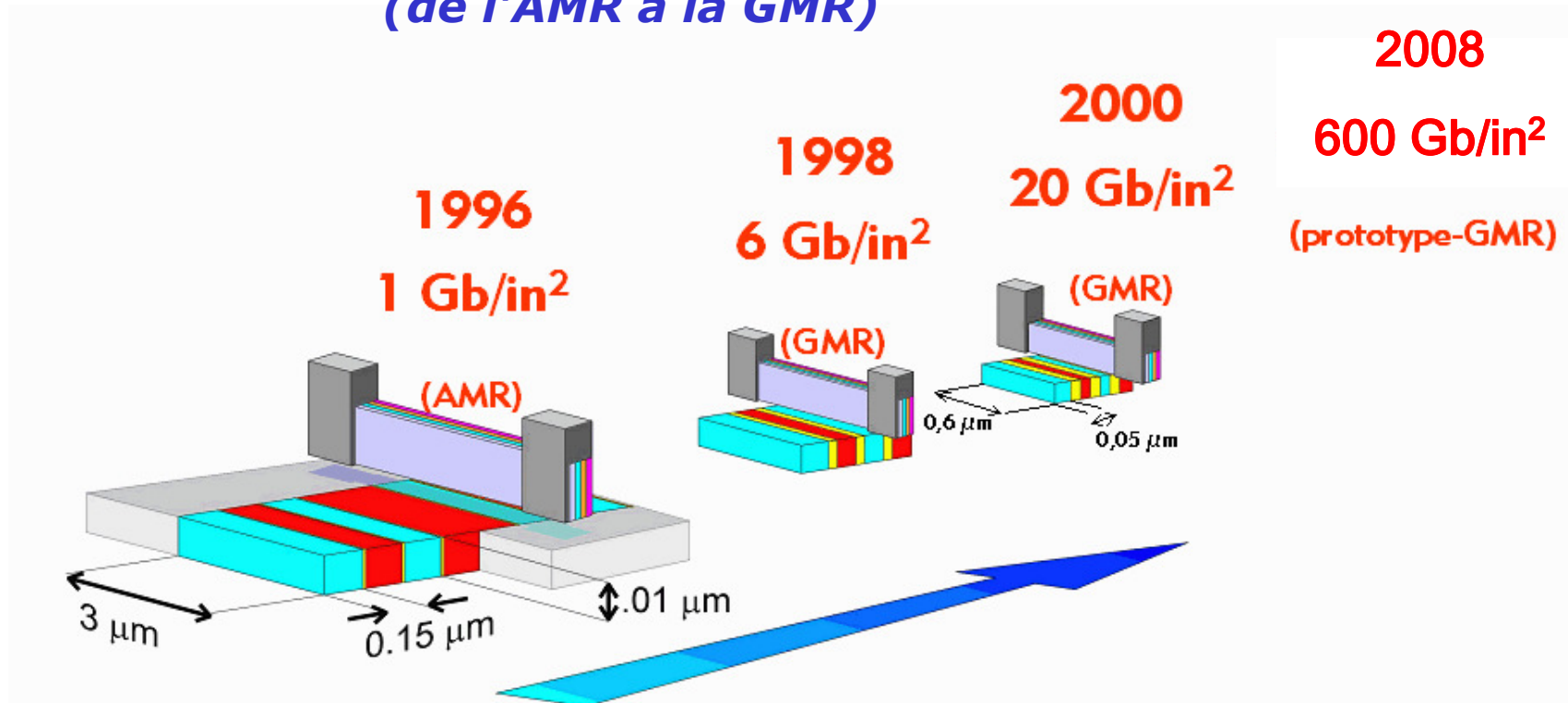


**Élément GMR (multicouche magnétique)**



- **Enregistrement magnétique:**

- *évolution des densités surfaciques  
(de l'AMR à la GMR)*



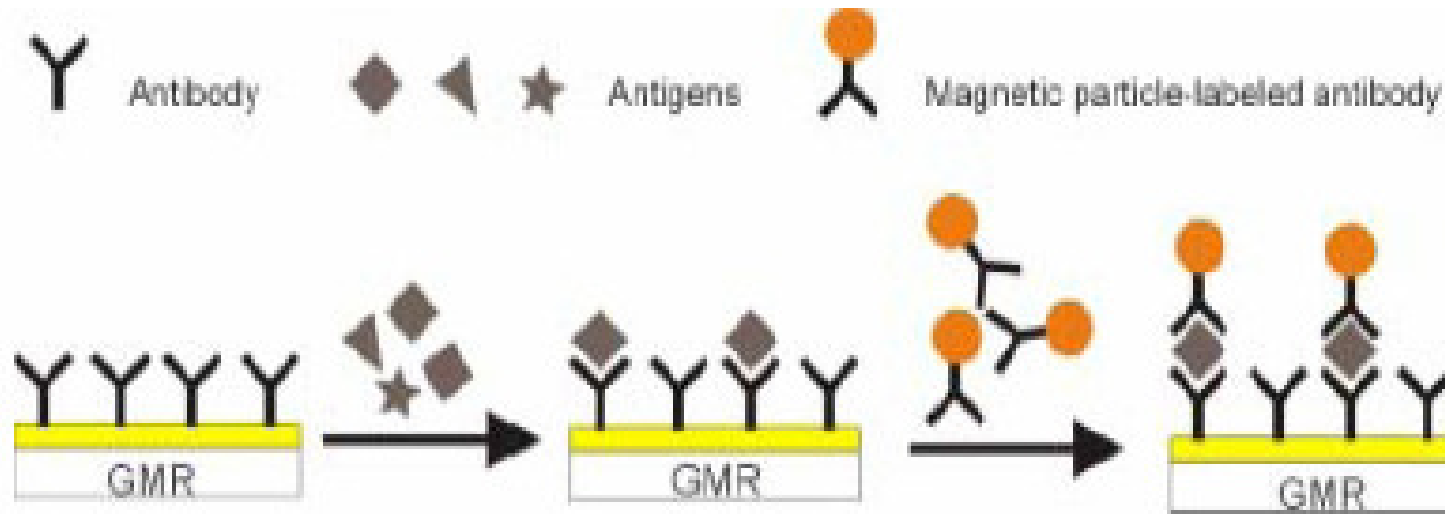
1 disque dur de 400 Giga-octet peut contenir une information équivalente  
à environ **800.000 livres** (format livre de poche)  
ou à **1 million de photographies** (de définition moyenne)  
ou à **8000 CD audio** (compression MP3)  
ou à **300 heures video**, ou **36 heures video haute def.**

- **Enregistrement magnétique:**



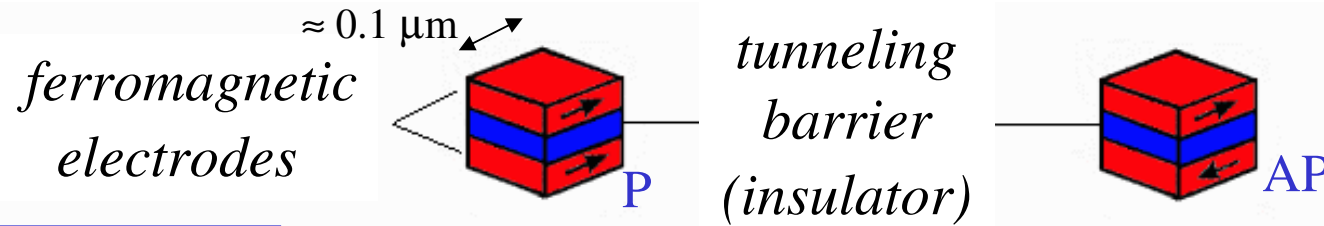
➤ *Disque 5 GB Microdrive*

# Analyse biologique « biochips »



←→  
quelques microns  
( prototypes avec  
réseaux de capteurs  
pour détecter un  
millier de cibles  
différentes)

- **Magnetic Tunnel Junctions, Tunneling Magnetoresistance (TMR)**



Low resistance state

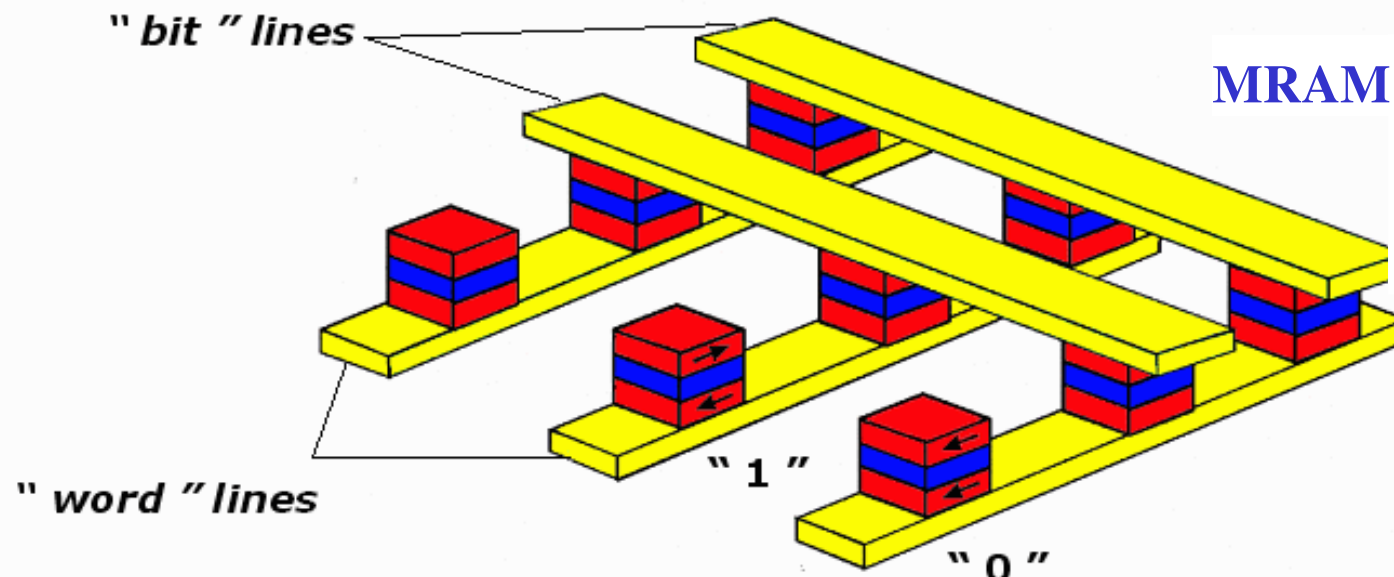
High resistance state

Jullière, 1975,  
low T, hardly  
reproducible

Moodera et al, 1995, Miyasaki et al, 1995, CoFe/Al<sub>2</sub>O<sub>3</sub>/Co, MR  $\approx$  30-40%

**Applications:** - read heads of Hard Disc Drive

- M-RAM (Magnetic Random Access Memory)



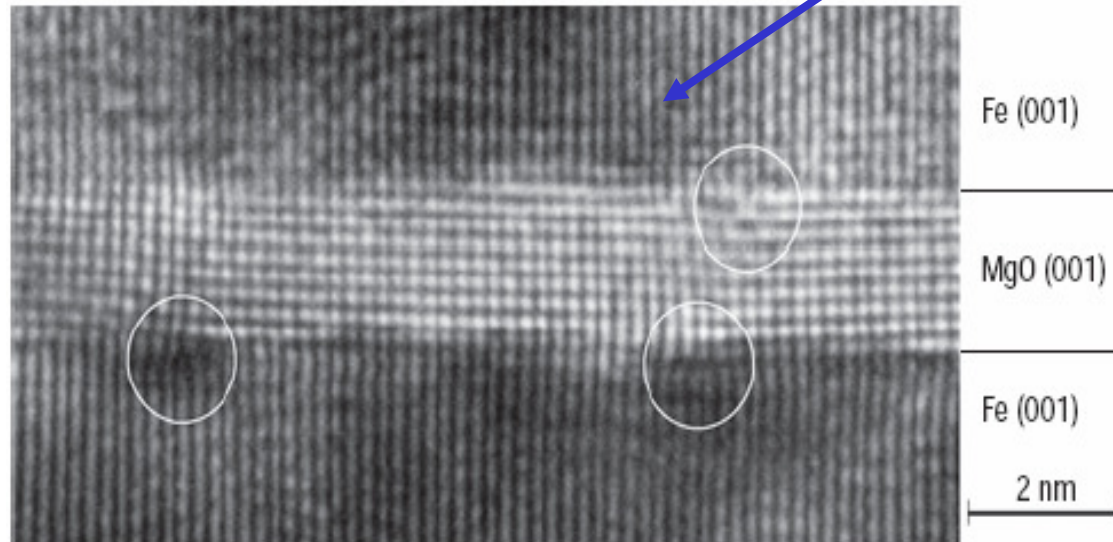
**MRAM** : density/speed of  
DRAM/SRAM +  
nonvolatility + low  
energy consumption



# 1) Epitaxial magnetic tunnel junctions (MgO, etc)

First examples on Fe/MgO/Fe(001):  
CNRS/Thales (Bowen, AF et al, APL2001)  
Nancy (Faure-Vincent et al, APL 2003)  
Tsukuba (Yuasa et al, Nature Mat. 2005)  
IBM (Parkin et al, Nature Mat. 2005)  
....etc

**Yuasa et al, Fe/MgO/Fe**  
Nature Mat. 2005  
 $\Delta R/R = (R_{AP}-R_P)/R_P \approx 200\%$  at RT



**2006-2007**

**CoFeB/MgO/CoFeB,**  
 $\Delta R/R \approx 500\%$  at RT in several  
laboratories in 2006-2007

+

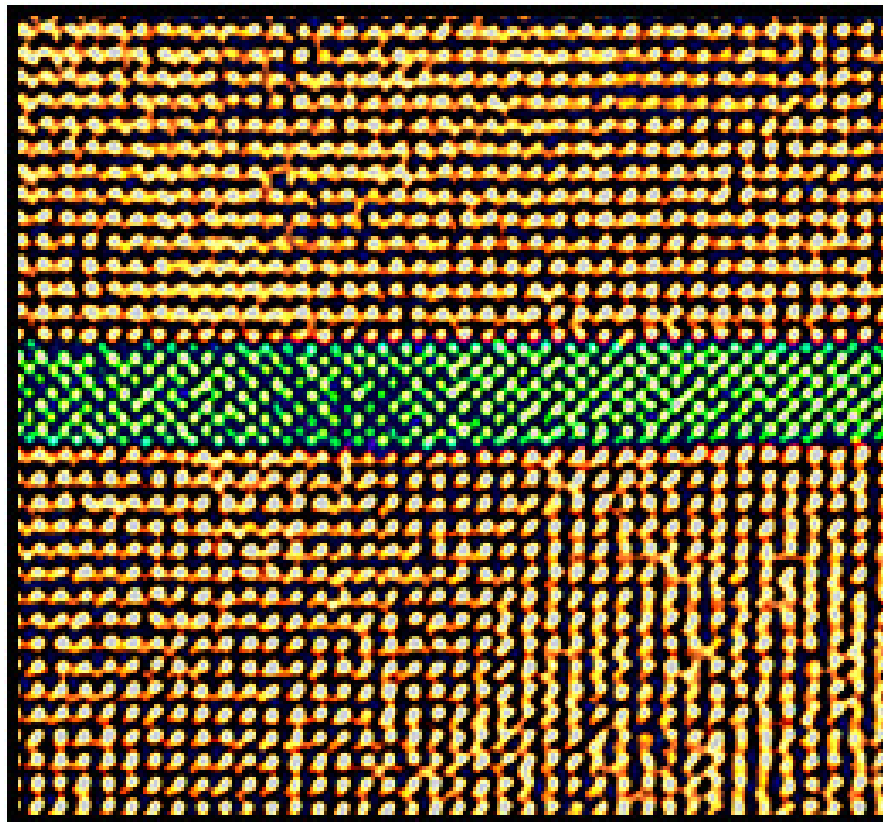
**Clearer picture of the  
physics of TMR:  
what is inside the word  
« spin polarization »?**

## 2) Directions pour une TMR plus élevée

Ferromagnétiques à polarisation en spin 100% (composés demi-metalliques)

Exemple:  $\text{La}_{2/3}\text{Sr}_{1/3}\text{MnO}_3$  (LSMO)

jonctions tunnel LSMO/SrTiO<sub>3</sub>/LSMO (CNRS/Thales): TMR de 1800% correspondant à 95% de polarisation de spin



$\text{La}_{2/3}\text{Sr}_{1/3}\text{MnO}_3$

$\text{SrTiO}_3$

$\text{La}_{2/3}\text{Sr}_{1/3}\text{MnO}_3$

*Image de microscopie électronique par J-L. Maurice, UMR CNRS/Thales*

**Transfert de spin**  
(renversement d'aimantation, génération de micro-ondes)

**Spintronique avec semi-conducteurs**

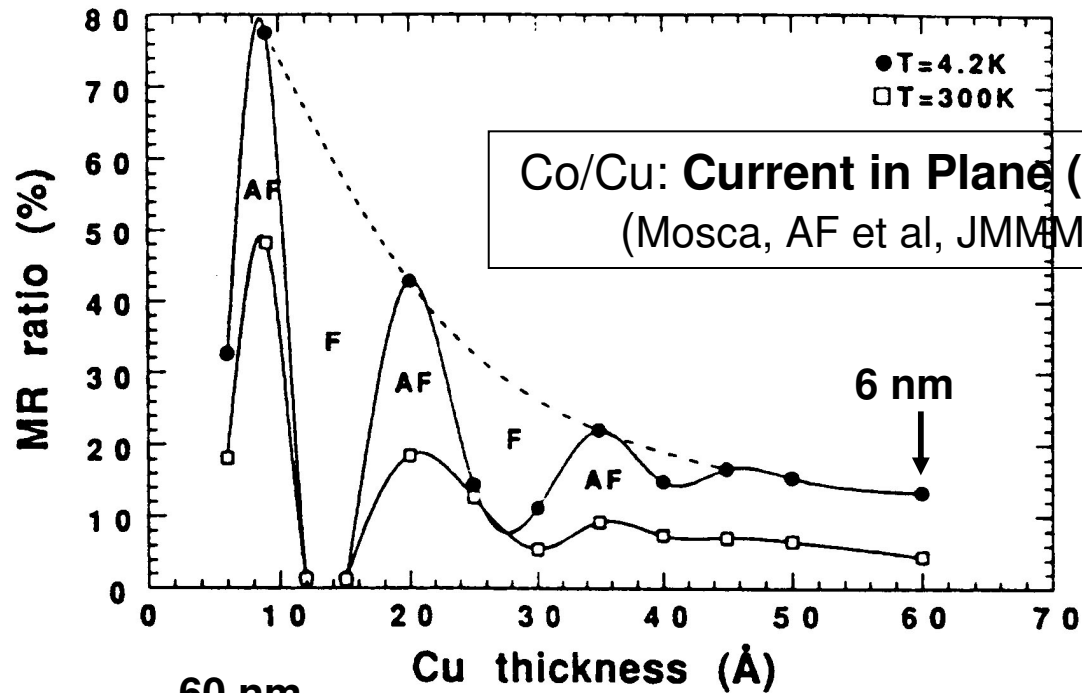
**Spintronique moléculaire**

**Transfert de spin**  
(renversement d'aimantation, génération de micro-ondes)

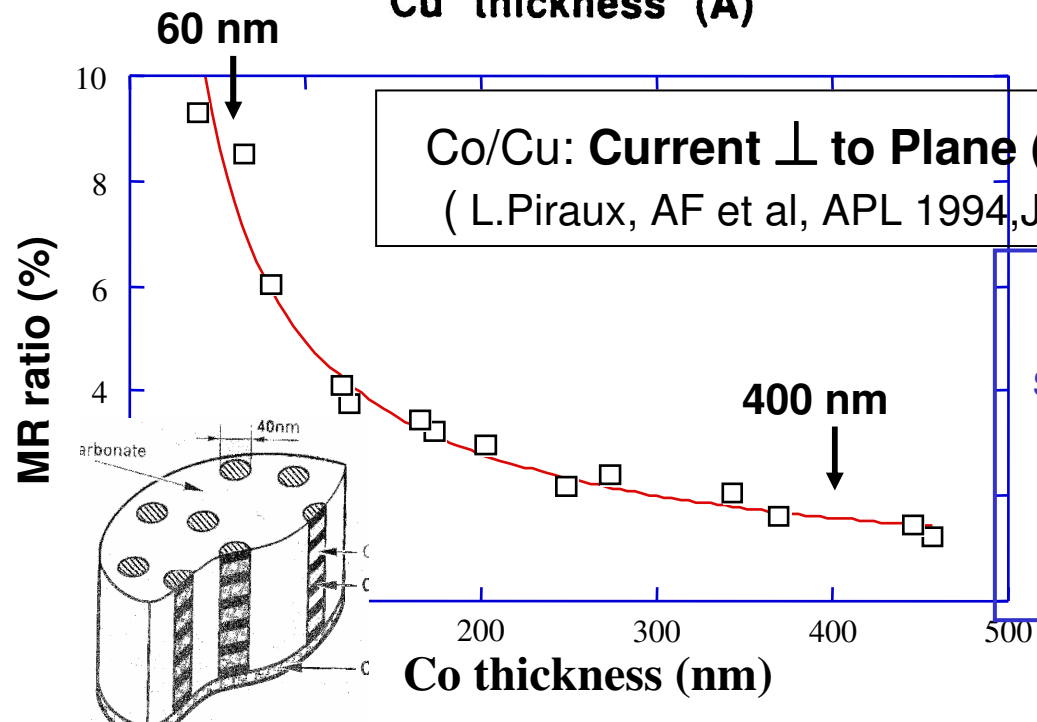
**Spintronique avec semi-conducteurs**

**Spintronique moléculaire**

**Introduction:**  
**accumulation de spin**  
**et courant de spin**

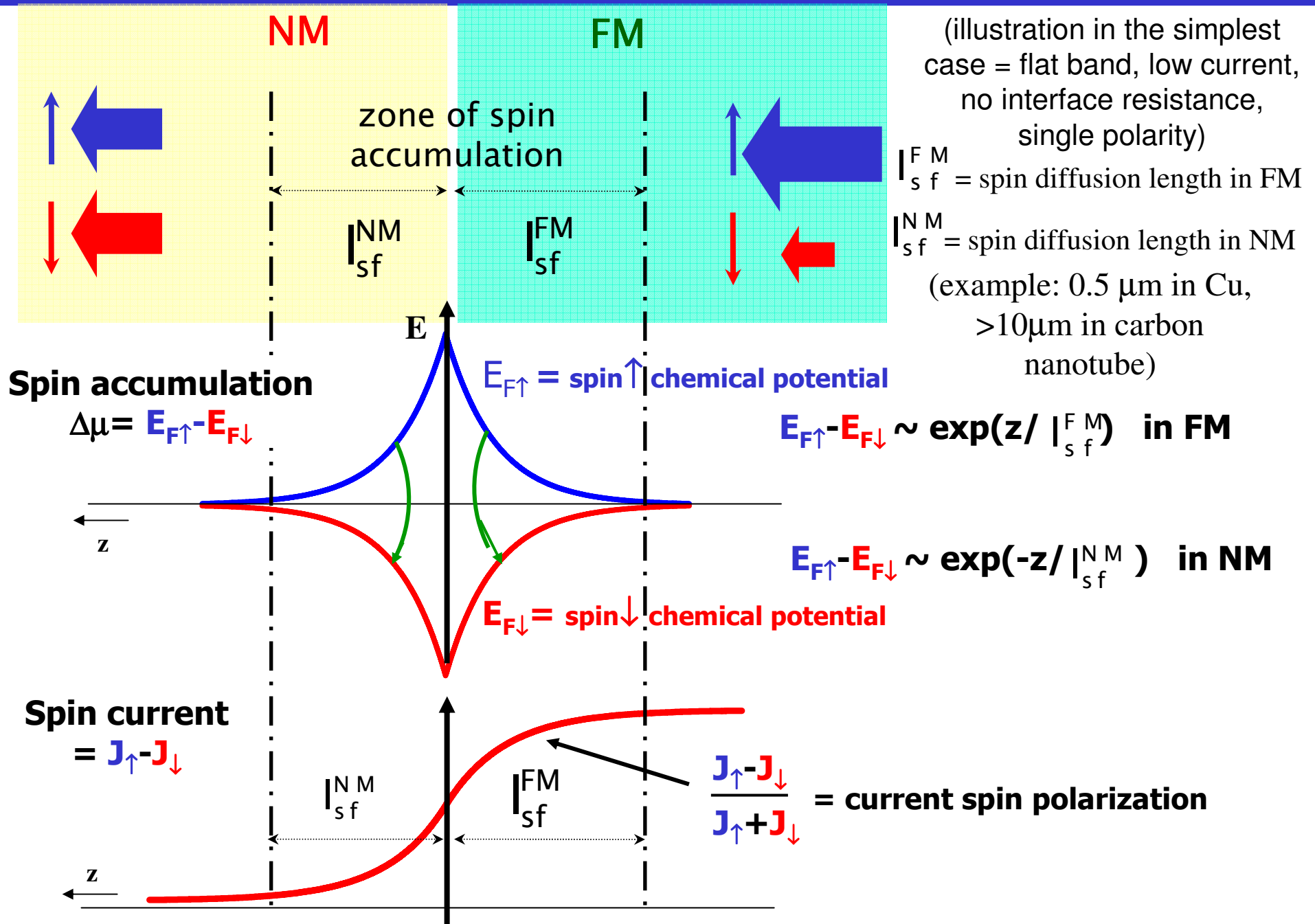


**CIP-GMR**  
scaling length = mean free path

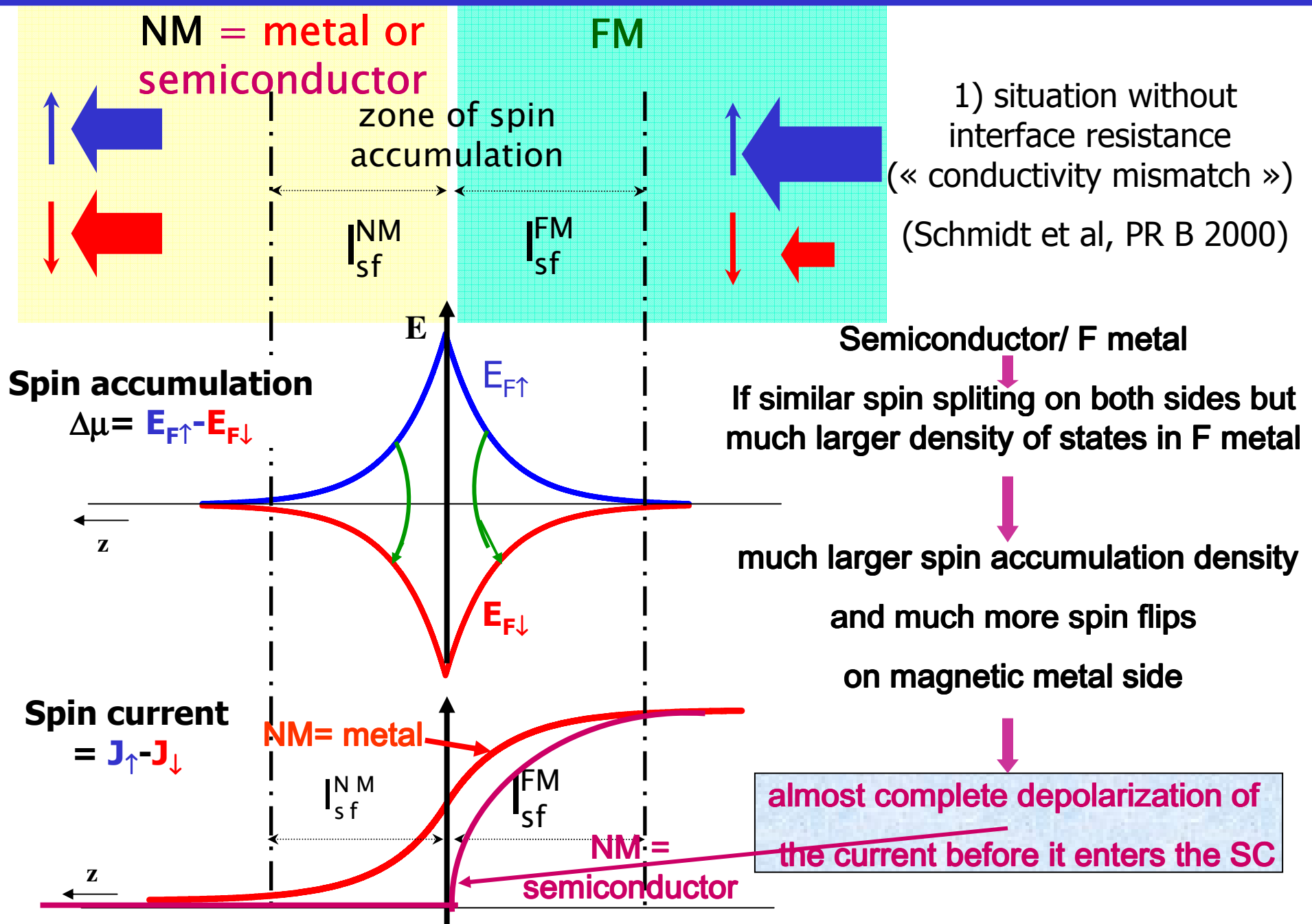


**CPP-GMR**  
scaling length = spin diffusion length  
 $\gg$  mean free path  
spin accumulation theory,  
(Valet-Fert, PR B 1993)

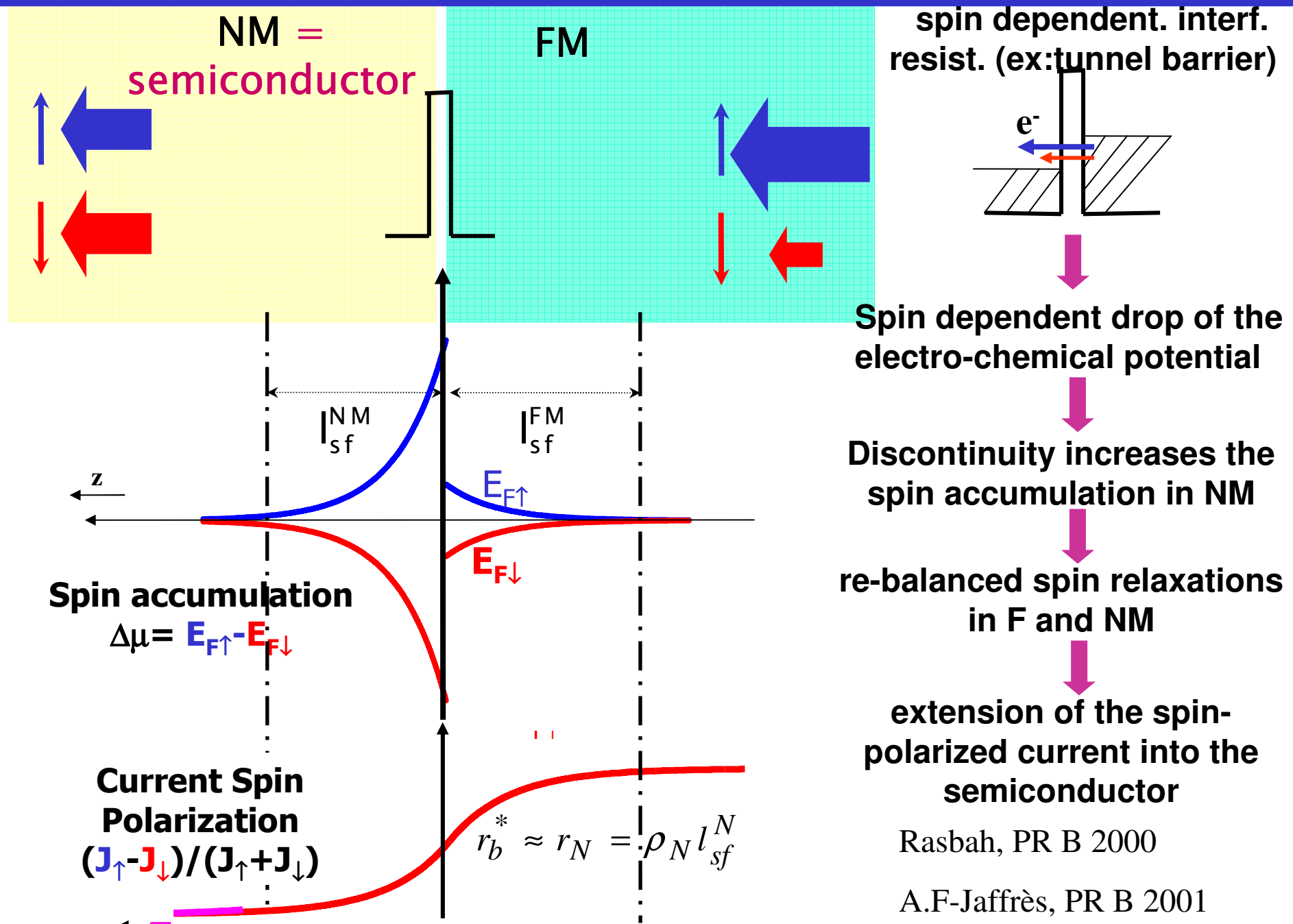
# Spin injection/extraction at a NM/FM interface (beyond ballistic range)



# Spin injection/extraction at a Semiconductor/FM interface

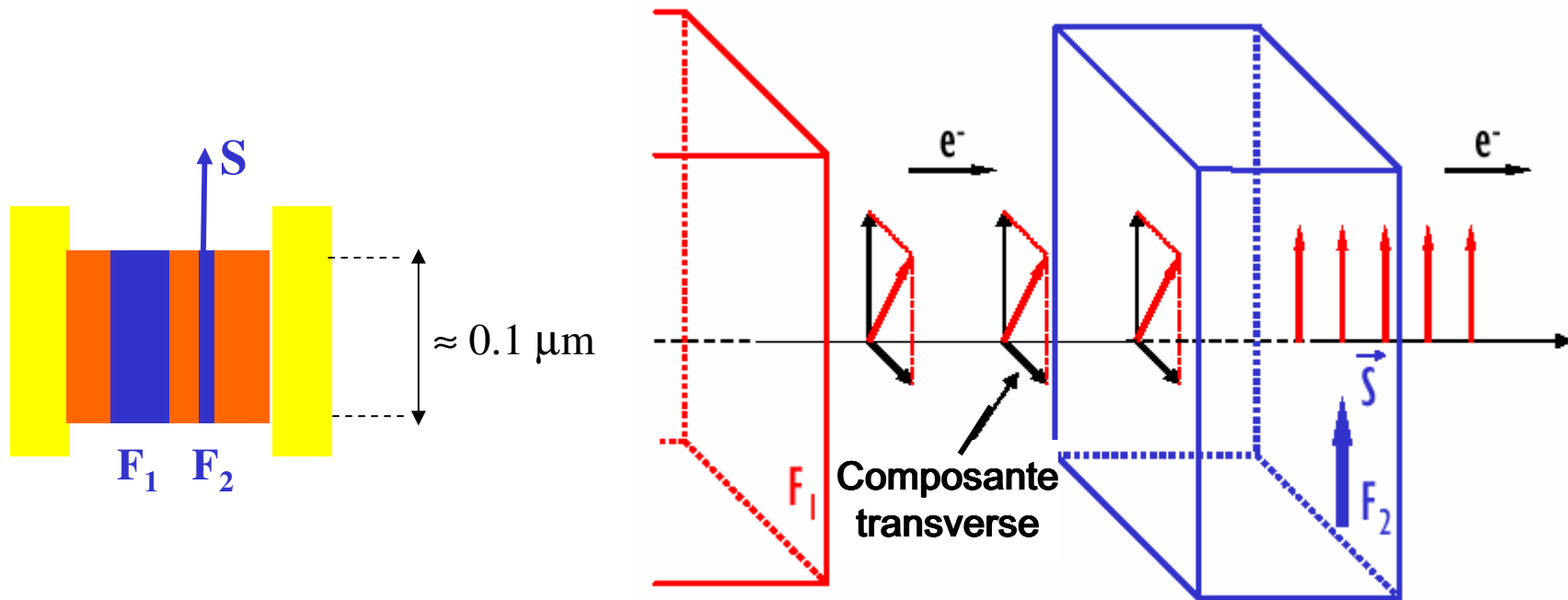


# Spin injection/extraction at a Semiconductor/FM interface

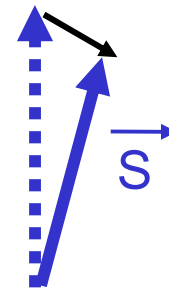




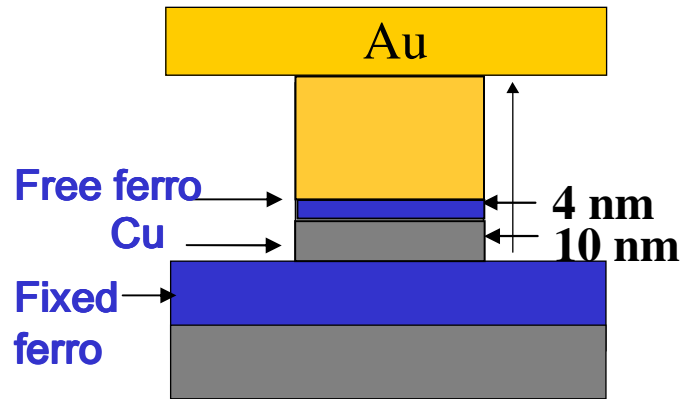
# Concept du transfert de spin (Slonczewski 1996)



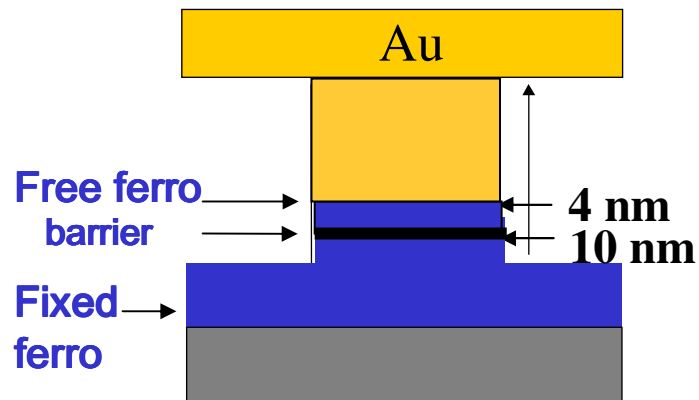
La composante transverse du spin est perdue par les électrons du courant, mais est en fait transférée au SPIN global  $\vec{S}$  de la couche  $\rightarrow$  rotation de  $\vec{S}$



# Experiments on pillars

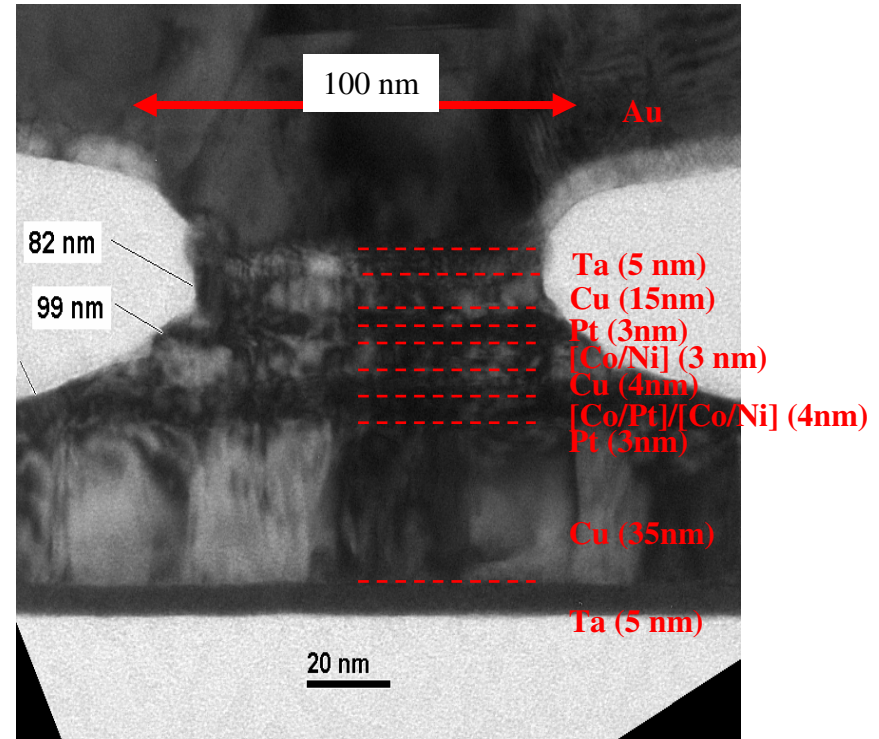


Metallic pillar  $\approx 50 \times 150 \text{ nm}^2$



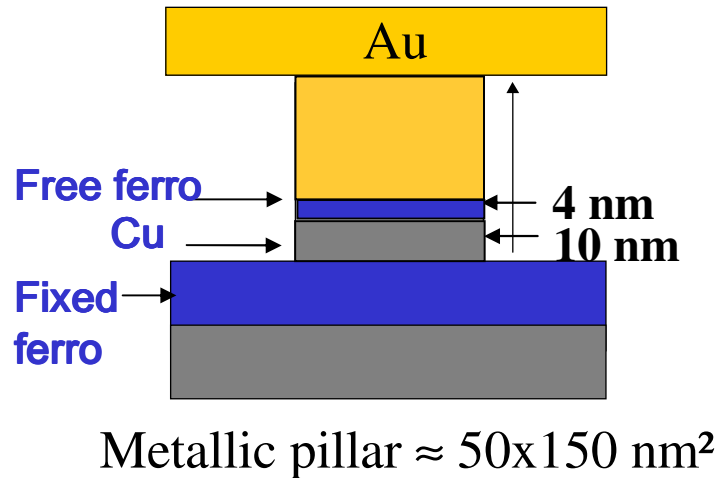
Tunnel junction

*E-beam lithography + etching*

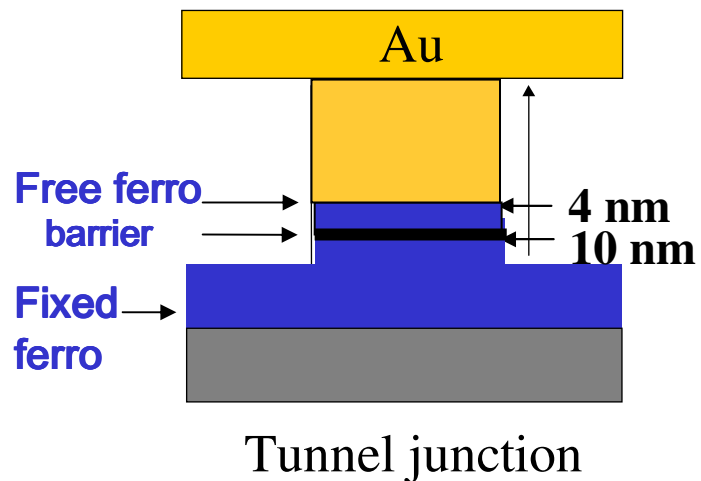


courtesy of S. Mangin  
University of Nancy

# Experiments on pillars



a) First regime (low H):  
irreversible switching  
(CIMS)



b) Second regime (high H):  
steady precession  
(microwave generation)

*E-beam lithography + etching*

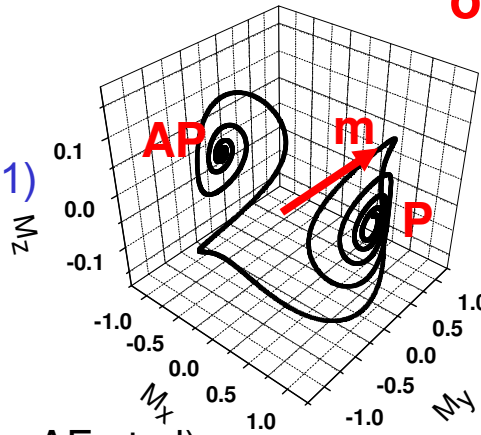
# Regime of irreversible magnetic switching

First experiments on pillars:

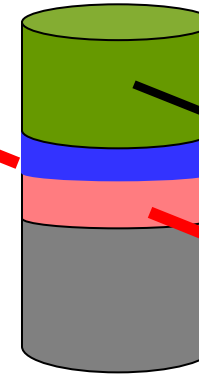
Cornell (Katine et al, PRL 2000)

CNRS/Thales (Grollier et al, APL 2001)

IBM (Sun et al, APL 2002)



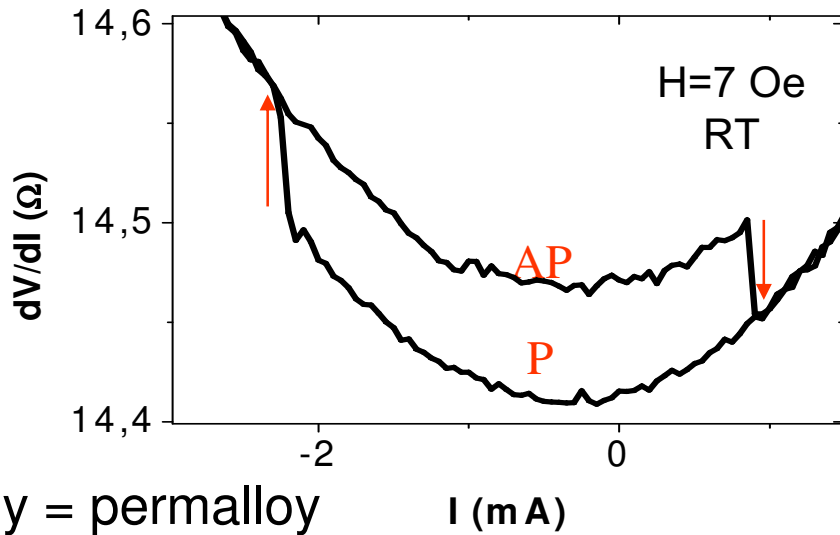
AP state  
of m



M

P state  
of m

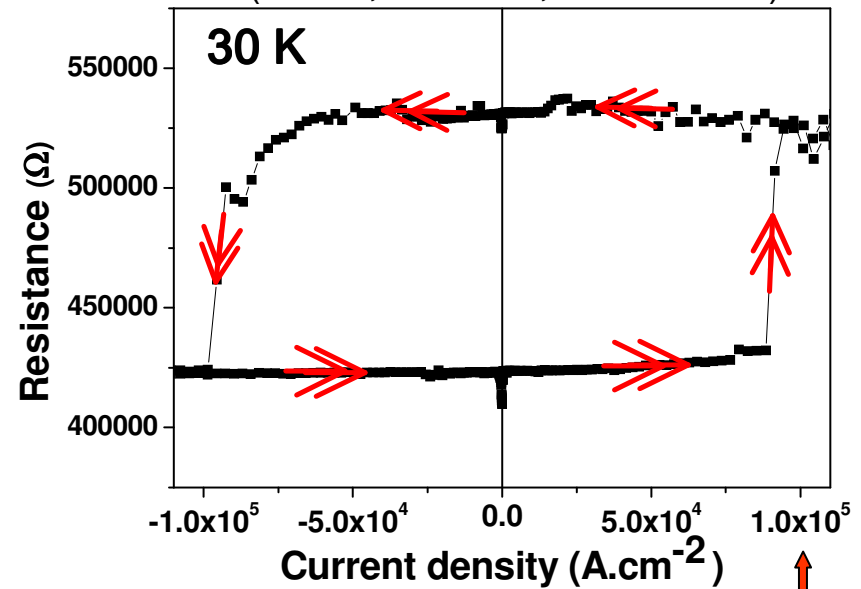
Py/Cu/Py 50nmX150nm (Boulle, AF et al)



Py = permalloy

GaMnAs/InGaAs/GaMnAs  
tunnel junction (MR=150%)

(Elsen, AF et al, PR B 2006)



$1 \times 10^5 \text{ A/cm}^2$

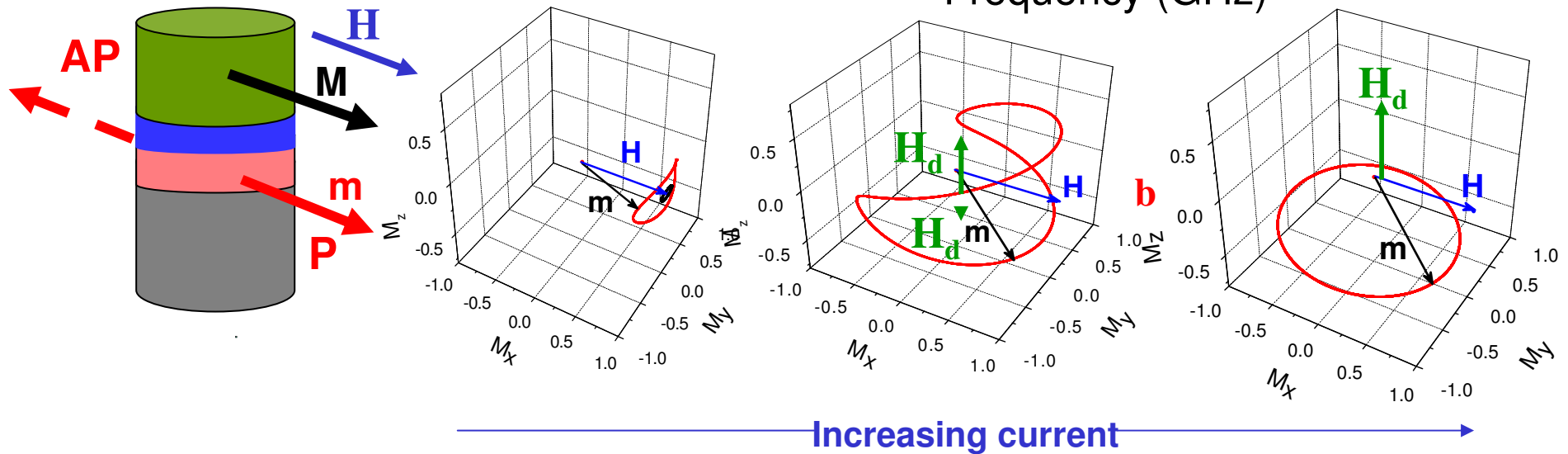
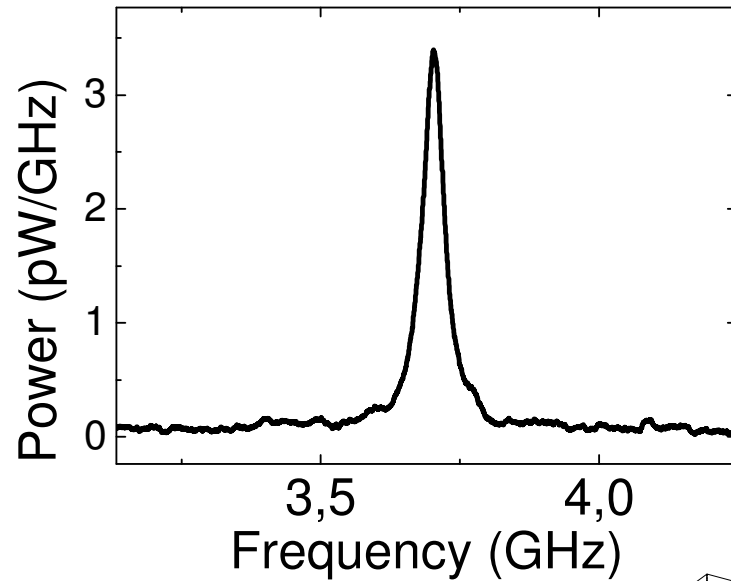
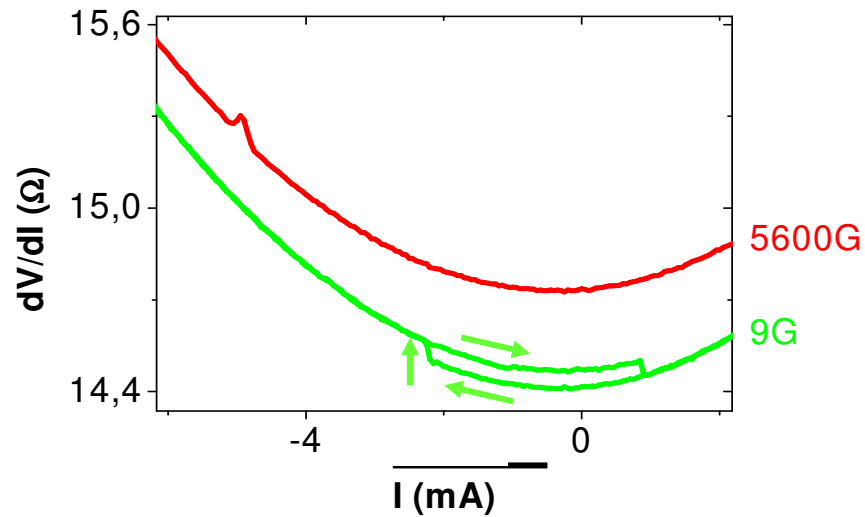
typical switching current  $\approx 10^7 \text{ A/cm}^2$

switching time can be as short as 0.1 ns (Chappert et al)

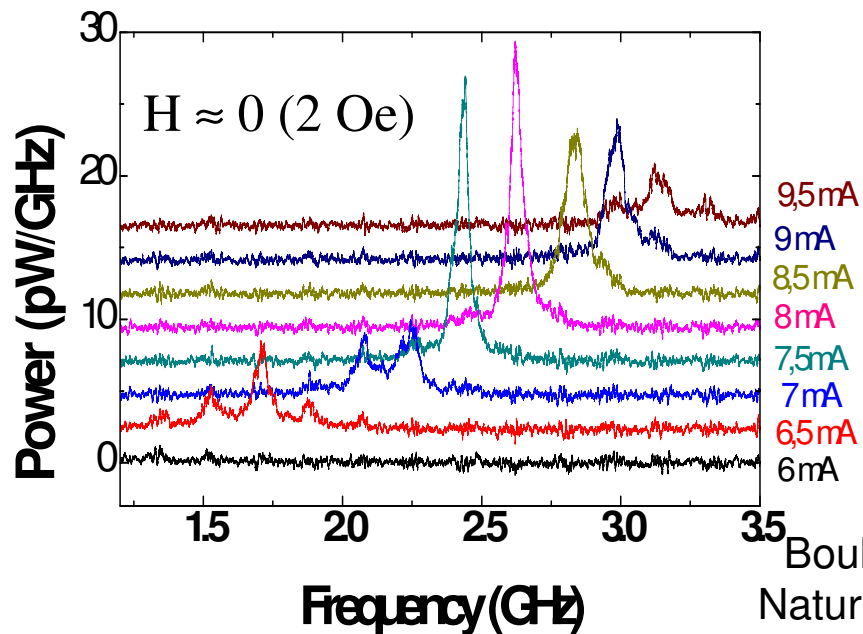
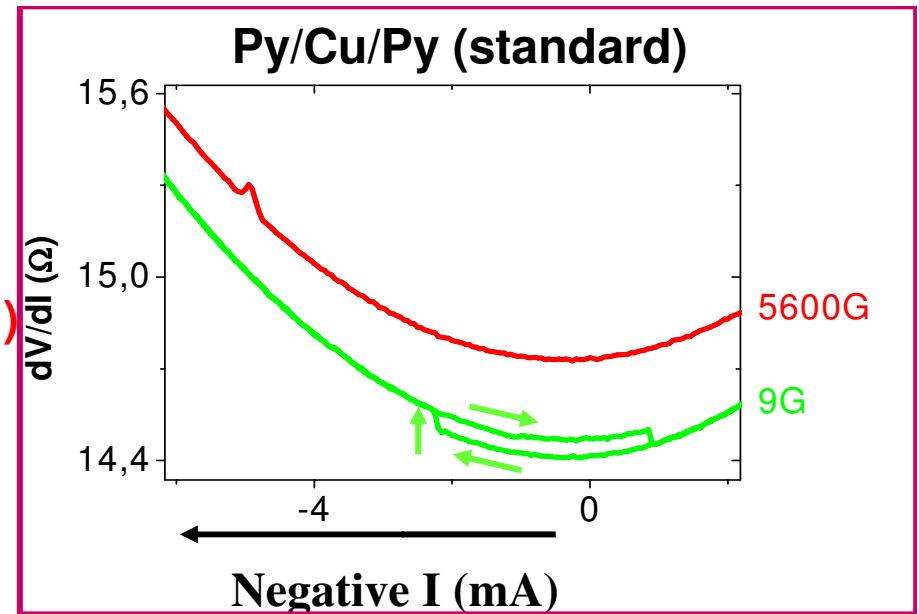
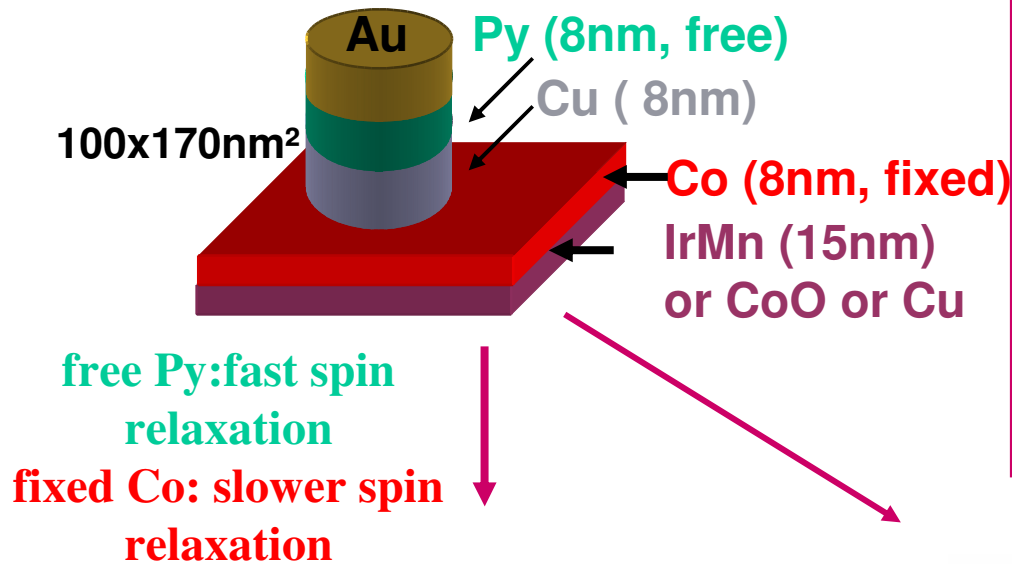
# Regime of steady precession (microwave frequency range)

CNRS/Thales, Py/Cu/PY (Grollier et al)

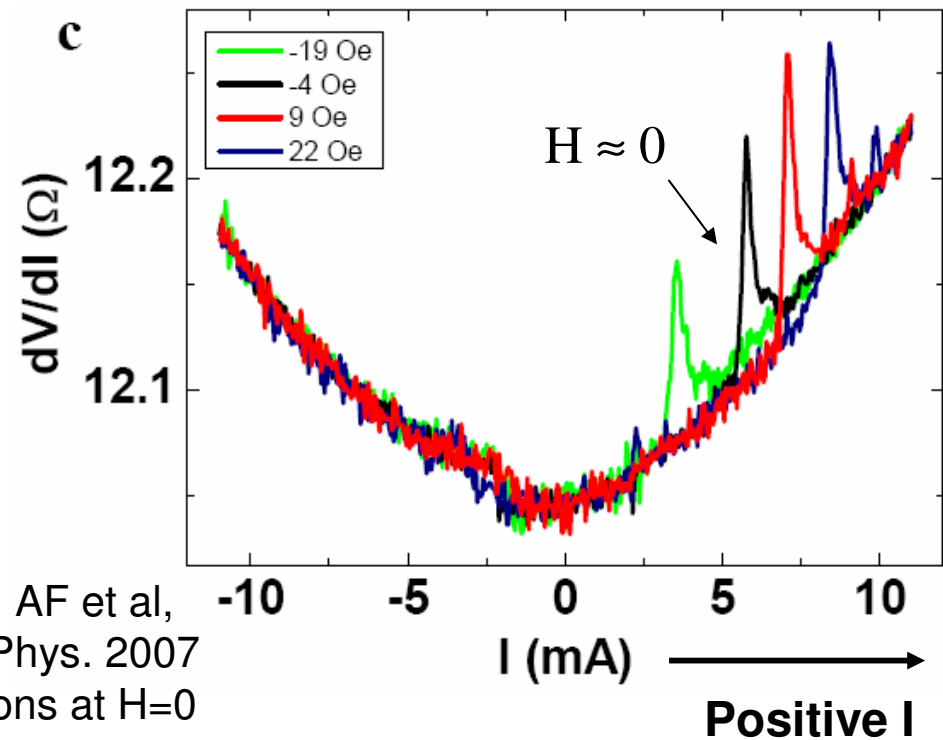
(Py = permalloy)



**Co/Cu/Py** (« wavy » angular variation  
calculated by Barnas, AF et al, PR B 2005)

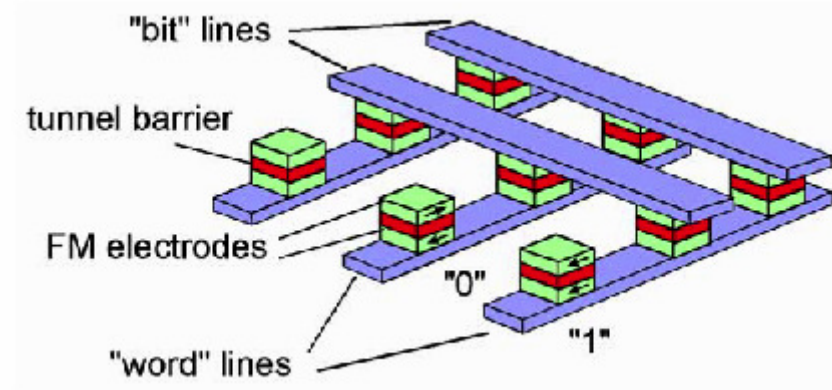


Boulle, AF et al,  
Nature Phys. 2007  
oscillations at H=0



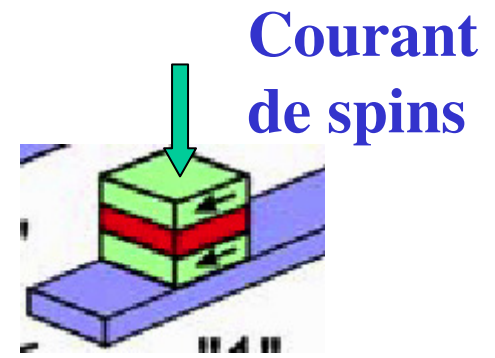
# Application du transfert de spin: commutation de mémoires MRAM et d'électronique logique reconfigurable

**Aujourd'hui :**  
commutation par un champ magnétique appliqué de l'extérieur (non local)



**Demain, électroniquement**

° par transfusion de spins

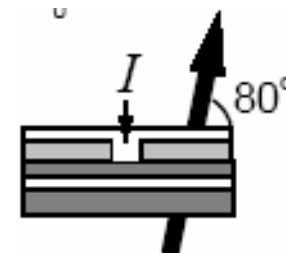
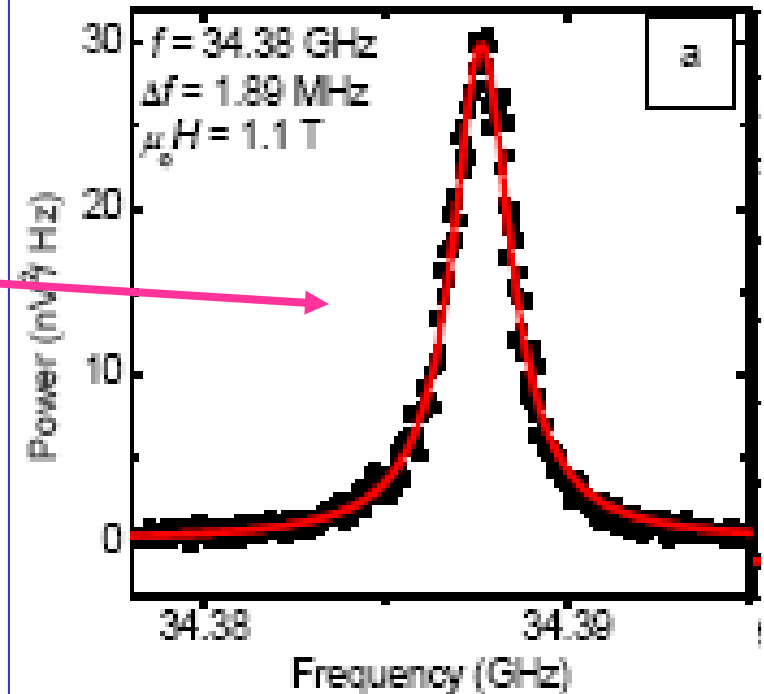


Spin Transfer Oscillators (STO)  
(communications, microwave pilot)

Advantages:

- direct oscillation in the microwave range (5-40 GHz)
- agility: control of frequency by dc current amplitude, (frequency modulation , fast switching)
- high quality factor
- small size ( $\approx 0.1\mu\text{m}$ ) (on-chip integration)
- oscillations without applied field
- Needed improvements
  - - increase of power by synchronization of a large of number N of STO ( $\times N^2$ )

$f/\Delta f \approx 18000$



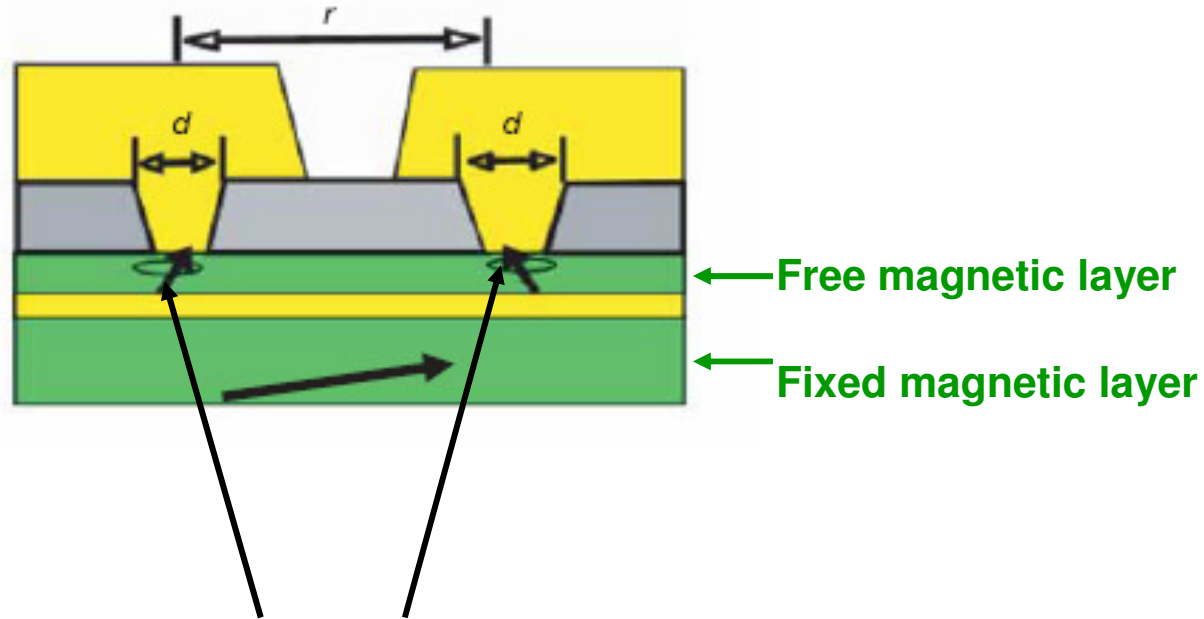
Rippart et al,  
PR B70, 100406,  
2004



# Synchronization of STOs

Synchronization by exchange coupling (magnetic elasticity)

- Kaka et al (NIST Boulder) Nature 2005  
(similar results by Freescale)



Phase locking of oscillations for  $r \approx 500$  nm

# Experiments of STO synchronization by electrical connection

(B.Georges, AF et al, CNRS/Thales and LPN-CNRS, preliminary results)

